

Содержание

| | |
|---|-----------|
| Квантовая статистическая физика | 2 |
| Основы квантовой статистики | 2 |
| Чистые и смешанные состояния | 3 |
| Статматрица (матрица плотности) | 4 |
| Уравнение движения для матрицы плотности | 5 |
| Микроканоническое квантовое распределение | 7 |
| Каноническое квантовое распределение | 9 |
| Статистическая сумма | 10 |
| Свободная энергия | 10 |
| Энтропия равновесной системы в квантстатистике | 11 |
| Средняя энергия квантового осциллятора | 12 |
| Равновесное излучение | 13 |
| Формула Планка | 16 |
| Формула Вина | 17 |
| Закон Стефано-Больцмана | 17 |
| Тело в равновесии с излучением | 19 |
| Закон Кирхгофа | 20 |
| Эффективная температура излучения | 20 |
| Квантовая теория теплоемкости идеального газа | 21 |
| Квантовая теория теплоемкости твёрдого тела | 22 |
| Третье начало термодинамики. Принцип Нернста | 28 |
| Недостижимость абсолютного нуля | 29 |
| Об однозначности определения энтропии в феноменологич. определении | 33 |
| Статистика системы невзаимодействующих частиц | 38 |
| Большое каноническое распределение | 38 |
| Распределение Бозе и Ферми | 40 |
| Бозоны | 42 |
| Фермионы | 43 |
| Квазиклассическое приближение | 43 |
| Температура вырождения | 47 |
| Тепловая ионизация атомов | 49 |
| Уравнение состояния квантового идеального газа из элементарных частиц | 57 |
| Вырожденный Бозе-газ | 65 |
| Фотонный газ | 73 |
| Вырожденный ферми-газ | 81 |
| Теплоемкость вырожденного эл.газа в металлах | 86 |
| Слабая термоэлектронная эмиссия | 90 |

фон температура конуса - ошибка будет.
нужно иметь функцию температуры.

Квантовая статистическая физика.

Н-р, для теплоемкости мы получили различные выражения, внутренняя энергия, различные модели. Они подтверждаются по одну, по другую формулу, или вообще не сходится с ними.
Здесь классическая теория не дает точного ответа.

Этот квантовый подход механическое описание не возможно для систем с большими числами частиц. Квантовая задача траекторно точно для частицы. И нужно задавать одновременно численные величины.

Если задать одновременно численные величины, то соответствующие величины (состояние) квант-се.

Задаётся $\psi(q, t)$ $q = \{q_1, q_2, \dots, q_N\}$

И численно среднее значение:

$$\langle \psi \rangle = \int \psi^*(q, t) \hat{f} \psi(q, t) dq$$

Физич. величины сводятся в соответствующие оператор.

$$\psi(q, t) = \sum_n C_n(t) U_n(q)$$

$$\int U_m^* U_n dq = \delta_{mn}$$

$$\langle f \rangle = \sum_{n, m} C_n^* C_m \int U_m^* \hat{f} U_n dq$$

f_{nm} - матрица, элемент.

$$\langle f \rangle = \sum_{n, m} C_n^* C_m f_{nm}$$

Она упрощается, если вместо U_n взять соб. функц. оператора \hat{f} .

$$\hat{f} U_n = f_n U_n \Rightarrow f_{nm} = f_n \delta_{nm}$$

$$\Rightarrow \langle f \rangle = \sum_n |C_n|^2 f_n$$

фон температура конуса - ошибка будет.
нужно иметь функцию температуры.

Квантовая статистическая физика.

Н-р, для теплоемкости мы получили различные выражения, внутренняя энергия, различные модели. Они подтверждаются по одной, по другую формулу, или вообще не сходится с ними.
Здесь классическая теория не дает точного ответа.

Этот Квантовый подход механическое описание не возможно для систем с большим числом частиц. Квантовая теория задает примерно точно для частицы. И нужно задавать одновременно квантовые величины.

Если задать одновременно квантовые величины, то соответствующие величины (состояние) квант-се.

Задаётся $\psi(q, t)$ $q = \{q_1, q_2, \dots, q_N\}$

И ищем среднее значение:

$$\langle \psi \rangle = \int \psi^*(q, t) \hat{f} \psi(q, t) dq$$

Физич. величины сводятся в соответствующие оператор.

$$\psi(q, t) = \sum_n C_n(t) U_n(q)$$

$$\int U_m^* U_n dq = \delta_{mn}$$

$$\langle f \rangle = \sum_{n, m} C_n^* C_m \int U_m^* \hat{f} U_n dq$$

f_{nm} - матрица, элемент.

$$\langle f \rangle = \sum_{n, m} C_n^* C_m f_{nm}$$

Она упрощается, если вместо U_n взять соб. функц. оператора \hat{f} .

$$\hat{f} U_n = f_n U_n \Rightarrow f_{nm} = f_n \delta_{nm}$$

$$\Rightarrow \langle f \rangle = \sum_n |C_n|^2 f_n$$

Для измерения величин функцией, мы измеряем одно из сов. значений данной величины.
 C_n - играет роль вероятности измерения данной функции.
 Величины.

Если система находится в чистом состоянии, т.е. описывается ψ функцией $\psi(q, t) = U_k(q)$

$\Rightarrow C_k = 1 \quad C_{n \neq k} = 0 \quad \Rightarrow \langle f \rangle = f_k$

Эта задача имеет детерминированный результат, как классическая физика.

Как измеряется макроскопическая величина - с большим числом измерений.

Смешанное состояние - типичное измерение - она описывается матрицей плотности.

Статистическая матрица (матрица плотности)

Коэффициенты C_n и C_m^* являются на координатной матрице ρ

$\langle f \rangle = \sum_{n,m} \rho_{nm} f_{nm}$
 тензор ρ ранга

f_{nm} - матричные элементы оператора групповой величины

$\langle f \rangle = \sum_m (\hat{\rho} \hat{f})_{mm} =$ где $\hat{\rho}$ - оператор матрицы плотности
 сумма диагональных элементов - это $\text{spur}(\text{след})$

$= \text{Sp}(\hat{\rho} \hat{f})$

Универсальная запись, не зависящая от выбора базиса группы

$C_n^* C_m \rightarrow \rho_{nm}$

Этот тип смешанного состояния.

Матрица плотности всегда имеет нормировку

$\int \psi \psi^* dq = 1$ - это в "чистом" случае

$\sum_{n,m} C_n^* C_m \int U_n^* U_m dq = \sum_n C_n^* C_n = 1$
 ↑ разложение по содействию ψ функции

Дана матрица $\hat{\rho}$ и получаем для стехиометрического типа
 $\sum_n \rho_{nn} = 1$ или $\text{Sp}(\hat{\rho}) = 1$ - условие нормировки

Матрица $\hat{\rho}$ симметрична в термодинамике, рав-сим
 описывается матрицей плотности, в диагональном

случае $\rho_{nn} = \rho_n$

$$\langle f \rangle = \sum_n \rho_n f_n$$

одно со соб. значением
 функции, величины

Можно сделать вывод из теории вероят: теперь
 у нас дискретное (набор соб. значений оператора f
 функции, величины), Соб. значение имеет смысл дискретной
 случай, величины \Rightarrow получаем 400 ρ_n -вер-го
 состояния данной системы.

До сих пор получали уравнение Шредингера и на его
 основании делаем предположения о св-вах этих
 вер-от, в том числе нормировки их, т.к. они не чисел
 не "проверяют".

Уравнение движения для атомной механики.

В системе имеем вол. функцию ψ , в подчиненной
 уравнению Шредингера: $i\hbar \frac{\partial \psi}{\partial t} = \hat{H} \psi$

Бросаем вид гамильтониана $\hat{H} = \sum_{k=1}^{3N} \frac{p_k^2}{2m} + U(q_k)$ -
 гамильтониан для газа $p_k = -i\hbar \frac{\partial}{\partial x_k}$

Разложим ψ по ортонорм. функциям: $\psi = \sum_m C_m \psi_m$

$$i\hbar \sum_m \dot{C}_m \psi_m = \sum_m C_m \hat{H} \psi_m =$$

Умножим скалярно ψ_n^* и интегрируем

$$i\hbar \sum_m C_m \int \psi_n^* \psi_m dq = \sum_m C_m \int \psi_n^* \hat{H} \psi_m dq$$

$$i\hbar \dot{C}_n = \sum_m H_{mn} C_m$$

В макроскопич. состоянии удобнее всё выразить через энергию. В канонич. ансамбле проще всего выразить энергию

$$\hat{H} \psi_n = E_n \psi_n$$

E_n - соб. значение.

$$H_{nm} = E_n \delta_{nm} \quad (*)$$

$$\Rightarrow i\hbar \frac{\partial c_n}{\partial t} = E_n c_n$$

и E_n const

$$c_n \approx e^{-i \frac{E_n t}{\hbar}} \quad - \text{это для стационар. состояний}$$

Для нестационар. состояний:

$$\frac{\partial}{\partial t} (c_n^* c_m) = \frac{i}{\hbar} (E_n - E_m) c_n^* c_m$$

Может \neq смешанного ансамбля как замкнутую сист.

$$\text{получаем: } \frac{\partial}{\partial t} (\rho_{mn}) = \frac{i}{\hbar} (E_n - E_m) \rho_{mn}$$

Имеем в виду (*) можем записать в матричном

виде:

$$\frac{\partial}{\partial t} \rho_{mn} = \frac{i}{\hbar} \sum_k (\rho_{mk} H_{kn} - H_{mk} \rho_{km})$$

$$\frac{\partial}{\partial t} \rho = \frac{i}{\hbar} (\rho \hat{H} - \hat{H} \rho) \Rightarrow \text{уравнение Лиувилля}$$

$$i\hbar \frac{\partial}{\partial t} \rho^1 = [\hat{H}, \rho^1] \quad \text{уравнение Неймана}$$

Она описывает некое смешанное состояние.

В случае ур-ние Неймана есть координат.

Оно проверяется на эксперименте.

т.е. элемент матрицы определяется

Для периодичности, равновесия для степеней свободы должно выполняться условие.

$$\frac{\partial \hat{\rho}}{\partial t} = 0$$

\Rightarrow это будет тогда когда H и ρ коммутируют.

Если оператор канонической величин коммутирует с H , то он сохраняется (интеграл движения)

$$\frac{\partial}{\partial t} \langle \rho_{mn} \rangle = \frac{i}{\hbar} (E_n - E_m) \rho_{mn}$$

\Rightarrow это выполняется тогда матрица ρ - диагональная.
 Для диагонального - если один из диагональ
 вращательной симметрии, $\rho_{mn} = \rho_n \delta_{nm}$

Утверждение: ρ_n есть функция от E_n $\rho_n = \rho_n(E_n)$
 Это тоже понятно.
 Оператор на ρ -вектор (утверждение) можно написать

Микроканоническое квантовое распределение.

В квант. стат. квант. к унитар замкнутой системе
 Теперь: унитарность в унитар. и замкнутой системе
 становится более жестким.

Есть набор уровней.

Спектр становится более плотным когда
 у дискрет. в непрерыв переходим.

$$\Delta F = e \frac{\Delta E}{\hbar} \quad \text{— сдвиг в е. (число микросостояний)}$$

$$\Omega(E) = \frac{\Delta E}{\Delta \Gamma} \quad \text{— отношение между интервалами между уровнями}$$

$$\Omega(E) = \Delta E e^{-S(E)/\hbar}$$

И в классике оцениваем $\Delta E = \sqrt{\frac{\hbar}{N}}$ $S \sim N$

С ↑ число частиц экспоненциально уменьшается расход

касается между уровнями (сплошь дискретный, но и вращатель)
 (*) Число состояний не будет переведено в другое состояние
 и она для замкнутой системы: $\Omega(E) \ll D(E)$

Если условие Корн-ли выполняется $\delta E \Delta t \geq \hbar$
 Число только дискретно все равно представляется и
 $\Omega(E) \ll D(E)$ можно $\delta(E) \approx D(E)$

На практике эти условия как правило не выполняются,
 но если они выполняются, то $E_0 = E_k$ и $g_n = C \delta_{nk}$
 и условие Кор-ли $\sum_n g_n = 1$

↑
 (красного вырезания
 (число состояний с
 одной и той же
 энергией)

↑
 все состояния с одной и той же энергией могут
 считаться соб. части

$\Rightarrow C = \frac{1}{g_k}$

Но ведь получившее число состояние (состояние
 члена) Мы получаем при измерении одно и
 тоже значение (полное измерение).

Но в жизни это не так и условие (*) не
 выполняется вообще и полностью.

Непосредственно как происходит

Если энергия E близка $\Omega(E) \ll E_0$ (**)

тогда $g_n = C_n \delta(E_n - E_0)$ - где непрерывная
 дельта δE - шаг

От (***) в дискретном спектре E_n вида все значения
 вблизи E_0 . Тогда с некоторой точностью

Здесь g_n - δ -то. Можно считать C и условие
 Кор-ли, $\int g_n dE = 1$ - элемент состояния dE
 произв. dV

Будем считать зависимость от энергии и широты, норм-ку:

$$\int f_n(\epsilon) g(\epsilon) d\epsilon = 1$$

$$g(\epsilon) = \frac{1}{\Delta(\epsilon)}$$

квантовых состояний
или уровней приходящих на единицу энергии

$$\Rightarrow \left[f_n = \frac{1}{g(E_n)} \delta(E_n - E_0) \right] - \text{широкая и распределение для квантовой системы}$$

$$g(E) = \frac{\Omega(E)}{(2\pi\hbar)^f}$$

$$S = \frac{1}{\Omega(E)} \delta(H(p, q) - E_0) - \text{в машине } \delta \text{ то есть берем}$$

Выводим f_n - вероятность и $f_n = g \left(\frac{1}{2\pi\hbar} \right)^f$
 ↳ берем берем ↳ объем приходящий на одно квантовое состояние

Квантовое каноническое распределение

Зависит от системы, находящейся в равновесии с термобатареей. Идея перехода такая же как и в машине сдвигами.

Для перехода от машины к квантовой есть некоторое правило и то что получили - результат.

$$\begin{matrix} S & \xrightarrow{\text{правило}} & f_n \\ H & \xrightarrow{\text{правило}} & E_n \end{matrix}$$

↳ для канонического вида машины

$$f_n = \frac{1}{Z} e^{-E_n/\Theta} \quad \text{где } \Theta = kT$$

↳ где что энергия системы E_n

$$\rho = \frac{1}{Z_{cl}} e^{-H/\theta}$$

функция вероятности
распределения

$$\Rightarrow \hat{\rho} = \frac{1}{Z} e^{-H/\theta}$$

$$\rho_{nn} = \langle \rho_n \rangle = \frac{1}{Z} \int \psi_n e^{-H/\theta} \psi_n dU$$

Если в качестве соб. функций берем соб. функции гамильтониана

$$\hat{H} \psi_n = E_n \psi_n$$

$$e^{-H/\theta} \psi_n = \sum_{k=0}^{\infty} \frac{(-1)^k}{\theta^k} (\hat{H})^k \psi_n =$$

↑ можно разложить в ряд Тейлора
↑ действуем k-раз гамильтонианом на функцию ψ_n

$$= \sum_{k=0}^{\infty} \frac{(-1)^k}{\theta^k} (E_n)^k \psi_n = e^{-E_n/\theta} \psi_n$$

подставляем в ρ_{nn}

$$\Rightarrow \rho_{nn} = \frac{1}{Z} e^{-E_n/\theta}$$

Умножим нормировочный множитель Z .

$$\text{Условие нормы } Sp(\hat{\rho}) = 1$$

$$\sum_n g_n \rho_n = 1$$

Будем считать каноническое распределение, что является суммированием по всем состояниям

$$\Rightarrow Z = Sp \left\{ e^{-H/\theta} \right\} = \sum_n g_n e^{-E_n/\theta}$$

состоятельная сумма (сумма по всем состояниям с учетом кратности их вырождения)

Средняя энергия

$$F = -kT \ln \left\{ \frac{1}{N!} \int e^{-\frac{H(p,q)}{kT}} \frac{dV_2f}{(2\pi h)^f} \right\}$$

Здесь в числителе выражение для свободной энергии
Эта состоятельная вес выражает число состояний

Случай канонического ансамбля и отсюда следует
 под $\ln z$ - имеет смысл статистич. суммы z
 Тогда можно записать $F = -kT \ln z$

и тогда

$$g_n = \exp \left\{ \frac{F - E_n}{kT} \right\}$$

классич.

квантов

$$\rho = \frac{1}{(2\pi\hbar)^f} e^{\frac{F-H}{kT}}$$

$$g_n = \exp \left\{ \frac{F - E_n}{kT} \right\}$$

$$\rho = g_n \frac{1}{(2\pi\hbar)^f}$$

Вспомогательное соотношение, что иго это,

Можно получить среднюю энергию.

$$\langle E \rangle = \text{Sp} \left\{ \hat{\rho} \hat{H} \right\} = \sum_n g_n E_n g_n \ominus$$

$$\text{из условия норм-ки суммарно} \quad e^{-F/\Theta} = \sum_n g_n e^{-E_n/\Theta}$$

$$\text{и } z = \exp \left\{ -F/\Theta \right\}$$

$$\ominus \sum_n E_n g_n e^{F/\Theta} \cdot e^{-E_n/\Theta} = e^{F/\Theta} \sum_n E_n g_n e^{-E_n/\Theta} =$$

$$= e^{F/\Theta} \Theta^2 \frac{\partial}{\partial \Theta} \left(\sum_n g_n e^{-E_n/\Theta} \right) = e^{F/\Theta} \Theta^2 \frac{\partial}{\partial \Theta} \left(e^{-F/\Theta} \right)$$

$$= \Theta^2 \frac{\partial \ln z}{\partial \Theta}$$

Энергия равновесной системы
в каноническом ансамбле.

Стремится к форме Больцмана $S = k \ln \Delta \Gamma$

Ранее $\rho(\langle E \rangle) \Delta V_{2f} = 1$ - предельная аппроксимация
 малых густот энергии

$$\Delta F = \frac{\Delta V_{2f}}{(2\pi\hbar)^f} \quad , \quad \rho = \frac{g_n}{(2\pi\hbar)^f}$$

$$\Rightarrow g_n(\langle E \rangle) \Delta \Gamma = 1$$

$$S' = -k \ln \int \rho_n \langle E \rangle$$

$\ln \int \rho_n \langle E \rangle$ можно представить в виде \sum

\ln и $\langle \rangle$ можно поменять местами

$$\Rightarrow S = -k \langle \ln \rho_n(E_n) \rangle$$

Когда уберем умножение на ρ_n и умножим
красное $\Rightarrow S = -k \sum_n g_n \rho_n \ln(\rho_n) = -k \sum_n \rho_n \ln \rho_n$
(сумма по n)

Средняя энергия квантового осциллятора.

Осциллятор некоторой частоты ω .

И для него уровни $E_n = \hbar\omega \left(n + \frac{1}{2}\right)$ $n=0, 1, 2, \dots$

набор энергетических уровней квант. осциллятора.

Будем считать систему из таких осцилляторов. Эта система в равновесии с термобатом при темп-ре T и осцилляторы не взаимодействуют (но могут взаимодействовать между собой).

\Rightarrow полная энергия = сумме энергий осцилляторов.

\Rightarrow сред. энергия = сумме сред. энерг. осцил., по v, k .

осцил. в одном состоянии, а можно вычислить

для одного.

Вычисляем сред. сумму одного осциллятора квантового

$$Z_1 = \sum_{n=0}^{\infty} e^{-E_n/\Theta} \quad \Theta = kT$$

красное выносим за скобки, энерг. уровней $g_n = 1$ (они не выносятся)

$$\sum_{n=0}^{\infty} e^{-\frac{\hbar\omega}{\Theta} \left(n + \frac{1}{2}\right)} = e^{-\frac{\hbar\omega}{2\Theta}} \sum_{n=0}^{\infty} e^{-\frac{\hbar\omega n}{\Theta}}$$

$$q = e^{-\frac{\hbar\omega}{\Theta}}$$

$$\sum_{n=0}^{\infty} q^n = \frac{1}{1-q}$$

$$\Rightarrow Z_1 = \frac{e^{-\frac{\hbar\omega}{2\Theta}}}{1 - e^{-\frac{\hbar\omega}{\Theta}}}$$

1 до суммы убывающей геометрической прогрессии

- сред. сумма для отдельного квант. осциллятора имеет вид $\frac{1}{Z_1}$ в равновесии с термобатом

$$\langle E \rangle = \Omega^2 \frac{\partial \ln Z_1}{\partial \Omega} = \Omega^2 \frac{\partial}{\partial \Omega} \left(-\frac{\hbar \omega}{2\Omega} \right) - \Omega^2 \frac{\partial}{\partial \Omega} \ln \left(1 + e^{-\frac{\hbar \omega}{\Omega}} \right)$$

$$= \frac{\hbar \omega}{2} + \frac{\hbar \omega \cdot e^{-\frac{\hbar \omega}{\Omega}}}{1 - e^{-\frac{\hbar \omega}{\Omega}}}$$

$$\langle E \rangle = \frac{\hbar \omega}{2} + \frac{\hbar \omega}{e^{\frac{\hbar \omega}{kT}} - 1}$$

средняя энергия
квантовой осциллятора
с частотой ω

$$\langle E(\gamma) \rangle = \frac{\hbar \gamma}{2} + \frac{\hbar \gamma}{e^{\hbar \gamma / kT} - 1}$$

Взятое эманимое равно от центра, когда $T \rightarrow 0$, то оно $\rightarrow 0$, а первое от центра не зависит
Энергия $\frac{\hbar \gamma}{2}$ — энергия нулевых колебаний (когда $T \rightarrow 0$)

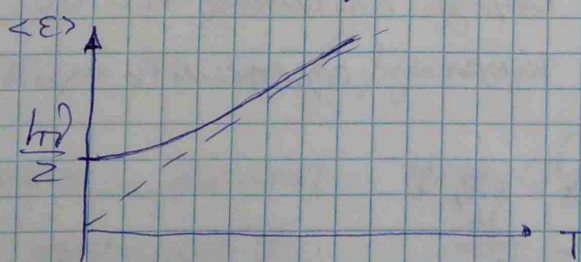
Нужно рассмотреть классическое описание

В машине (энергия приходится на одну степень свободы) приходится kT .

Чтобы это получилось нужно помнить $\hbar \gamma \ll kT$

тогда $\langle E(\gamma) \rangle \approx kT$ (первое эманимое)

можно будет преобразовать в. если условие
а exp в ред разлагается



При больших тем-рах
происходит переход
к классике
(или по другому
 $\hbar \gamma \ll kT$)

Равновесное электромагнитное излучение

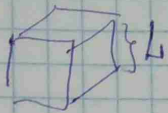
более излучения подпитывало волновому урнью
и можно заменить волнов урнью для вектор. полей

$$\Delta A - \frac{1}{\epsilon_0^2} \frac{\partial^2 A}{\partial t^2} = 0$$

однако однородная и
решит как волновое

Бесконечная система, где можно было бы
излучение - излученный резонатор.

У нас идеал. провод. стенки нас интересует
стенки где хар. масштаб $L \gg$ длины волны λ



$$\begin{cases} A=0 \\ \frac{\partial A}{\partial n} = 0 \end{cases} \text{ - гранич. условия}$$

Решая вол. уравне с гранич. условиями получим
решение в виде стоячей волны

$$A = \sum_k A_k$$

$$A_k = q_k(t) e^{-i\vec{k}\cdot\vec{r}}$$

$$k = \frac{2\pi}{\lambda}$$

Для стоячей волны получим

$$\ddot{q}_k + k^2 \epsilon_0^2 q_k = 0 \text{ - ур. гармон. осциллятора}$$

$$\text{где } \omega_k = k \epsilon_0 \epsilon_0$$

До появления представления э/маг. поле в ~~поле~~
резонаторе можно представить в виде осцилляторов.

Важнейшая величина это расчет энергии, энергии
Сколько приходится на опред. интервал частот
кон-во осцилляторов? Нужно определить.

$$\frac{2L}{\lambda_x} = n_x$$

$$\text{где } n_x = 1, 2, 3$$

$$k_x = \frac{2\pi}{\lambda_x}$$

Тогда условие \exists колебаний - что длина ребра L
у ~~выражение~~ целое число длины волн

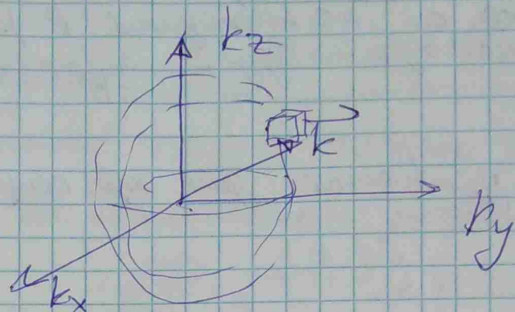
$$\begin{cases} k_x L = \pi n_x \\ k_y L = \pi n_y \\ k_z L = \pi n_z \end{cases}$$

условие опред. соб. волн
в осцил резонаторе.

Вдоль оси x получаем элемент объема

$$\text{где } \omega = \sqrt{k_x^2 + k_y^2 + k_z^2}$$

k -пространство
Можно считать число элементарных
 k зон элементарной



$$\Delta n_x \Delta n_y \Delta n_z = \frac{L^3}{(2\pi)^3} \Delta k_x \Delta k_y \Delta k_z$$

Для выделенного элемента L^3 можно считать

как V , т.е. $L^3 = V$

Нам интересна связь между вектором \vec{k}

и скорости движения частицы — это дисперсия
частицы $\vec{v} \rightarrow v \leftarrow \frac{\partial \epsilon}{\partial \vec{k}}$ можно видеть связь
 $\frac{1}{\hbar}$ это сферическая поверхность

$$\Delta n_{\omega} = \frac{V}{(2\pi)^3} 4\pi k^2 dk = \frac{V}{2\pi^2} \frac{\omega^2}{v_g^3} d\omega$$

Теперь переходим к частоте

$$\downarrow \text{на единицу частоты} \rightarrow$$

$$= \frac{4\pi V}{2\pi^2} \frac{\omega^2}{v_g^3} d\omega$$

Теперь \hbar что в резонансе частота $\omega = c$

Здесь должно предельно медленно \hbar равновесию
с осью \vec{v}

И считаем \hbar начало термодинамики.

Объем V — пример внешнего макроскопич. параметра

Формула объема (части) нигде не фигурирует в
термодинамике

Можно считать, что это формула справедлива и для \hbar
объем V — пример внешнего макроскопич. параметра в равновесии

с осцилляциями с частотой ν .

Если ν больше $\nu_{крит}$ то с энергией увеличивается то он не находится в равновесии и здесь не будет здесь считать.

уравнение для гар. осцил - менее (в силу инвариантов урн М-н)

В энтродинамике обратимся к ν и ω соот-ств где велич отпечатающиеся намерениями (двухкратное намерения, ~~вырождение~~)

Базисную криво углов ν

$$\Delta H_{\nu} = \nu \frac{h\nu}{c^3} \nu^2 \nu$$

это называется числом осцилляторов

$$g_{\nu} = \frac{8\nu^2 \nu^2}{c^3} < E(\nu) >$$

получаем единицу в единицу объема в единицу частоты - это и есть спектральное

$$g_{\nu} = \frac{8\nu^2 \nu^2}{c^3} \frac{1}{e^{h\nu/kT} - 1}$$

- формула Планка
равно весового
энергии, учитыва

здесь нет энергии нулевых колебаний

Для каждой частоты осчет энергии идет от уровня при $T \rightarrow 0$ - т.е. энергии нулевых колебаний до уровня осчета

В энтродинамике - изучаем неравновесный э/маг излучение и его ток, сейчас оно возникло само (т.е. само себя генерирует) и оно равновесное все частоты от 0 до ∞ всевозможное равновесие.

Как перейти к классике, а именно? $h\nu \ll kT$
 нулевые значения ν и ν в \exp заменяем

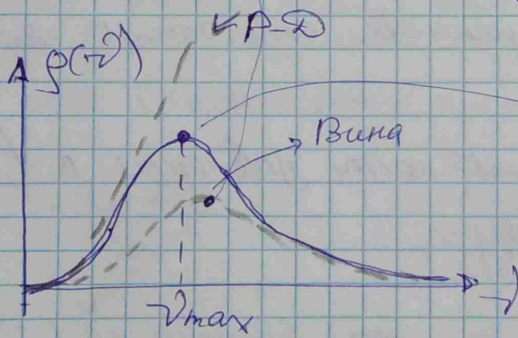
$$\rho(\nu) = \frac{8\pi\nu^2}{c^3} kT$$
 - формула Рэлея - Дендринга
 (она верна $\nu \rightarrow 0$ в малом и сред. энергиях)

Длина волны λ $\nu = c/\lambda$ \Rightarrow $\rho(\lambda) = \frac{8\pi c}{\lambda^5} kT$ - радиодлина

Если $h\nu \gg kT \Rightarrow \rho(\nu) \approx \frac{8\pi\nu^2}{c^3} e^{-h\nu/kT}$ -

\Rightarrow формула Вина (ν - выражено \exp -членом)
 \Rightarrow их произведение имеет max

$$\nu_{\text{Вина}} = \frac{3kT}{h}$$
 - видно что max частота
 падает с тем $\rho(\nu)$ (до этого считали Вина)



$$\frac{d}{d\nu} \left(\frac{\nu^3}{e^{h\nu/kT} - 1} \right) = 0$$

$$\nu_{\text{max}} = 2.8 \frac{kT}{h}$$

Найдём полную энергию излучения:

$$U = \int \langle \epsilon(\nu) \rangle d\nu = V \int \rho(\nu) d\nu =$$

$$= V \frac{8\pi h}{c^3} \int_0^{\infty} \frac{\nu^3 d\nu}{e^{h\nu/kT} - 1} \quad x = \frac{h\nu}{kT}$$

$$U = \frac{8\pi h}{c^3} \frac{k^4 T^4 V}{h^4} \int_0^{\infty} \frac{x^3}{e^x - 1} dx = \frac{8\pi^5}{15} k^4 T^4 V$$

(здесь интеграл)

Видим, что x - интеграл сходится

$\Rightarrow U = \sigma T^4 V$, где $\sigma = \frac{8\pi^5 k^4}{15 c^3 h^3}$

\Rightarrow это $\int \rho(\nu)$ Стефана-Больцмана для равновесной системы
 k -постоянная Больцмана

Как догадаться, что нужно учесть в этом случае?
 Силам инерции по всем частотам формулы
 Ринге-Динса и получаем расхождение
 → ультрафиолетовая катастрофа
 Это дано только равновесие в равновесии терм.

Нельзя экспериментально сделать, чтобы $U = \text{const}$
 при расширении чтобы температура уменьшалась, т.к.
 э/м излучение само по себе расширяется в объём.

Но в масштабах Вселенной (космоса) во время
 большого взрыва расширение температуры уменьшалось.
 Такое поведение также было обнаружено —
 на основании реликтовых излучений (и да же
 время существования Вселенной оно около 2,7 К

Зная μ и С-Б можно найти давление p в
 давлении излучения на сетку.

$$U = 5T^4 V$$

$$T \left(\frac{\partial p}{\partial T} \right)_V = \left(\frac{\partial U}{\partial V} \right)_T + p \quad \leftarrow \text{это получаем раньше}$$

$$\left(\frac{\partial p}{\partial T} \right)_V = \frac{p}{T} + 5T^3$$

$$p = \frac{1}{3} w \quad \text{где } w = \frac{U}{V} = 5T^4$$

Это совпадает с экспериментальными данными микрофизики
 микел.

Вопрос: мы предпримем энергии квантовых колебаний?

Но если её подставить, то в итоге получим
 расхождение.

Это та самая проблема вакуума

На этом закончим

Тело в равновесии с излучением

Речь идёт об вакууме (или хотя бы об изотропной среде) - все направления равноправны. Поэтому собственные (квадратичные) комбинации распределены во всех направлениях (в равных).
Можно говорить об спектральной плотности энергии:

$\rho(\nu, \vec{n})$ - спектральная плотность энергии в направлении \vec{n} в единицу телесного угла

$$\rho(\nu, \vec{n}) = \frac{1}{4\pi} \rho(\nu) \quad \text{от } \vec{n} \text{ в случае равновесия не зависит.}$$

$\rho(\nu)$ - у формулы Планка кажде ν раз

$\vec{S} = \vec{v}_{gr} w$ - плотность потока энергии
вектор Пойнтинга

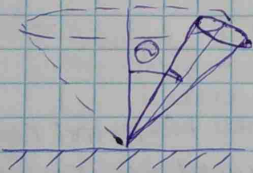
$$v_{gr} = c \quad w = \int_0^\infty \rho(\nu) d\nu$$

Все частоты излучения равновероятно

$$c \rho(\nu, \vec{n}) d\nu d\Omega = \frac{c}{4\pi} \rho(\nu) d\nu d\Omega$$

Плотность энергии - энергия, пересекающая площадь единичной площади перпендикулярно направлению волны.

✗ тело в покое такого излучения в равновесии в термостате.



Какая энергия падает на единичную площадь с частотами в интервале $d\nu$ в единицу времени в интервале углов $d\Theta$ под углом Θ к нормали?

$$\frac{c}{4\pi} \rho(\nu) \cos \Theta d\nu \underbrace{2\pi \sin \Theta d\Theta}_{\text{элемент } d\Omega}$$

он будет посылать, что ✗-ваши площадь перпендикуляр направлению.

$A(\nu, \Theta)$ - доля падающей энергии, в покое тела (единич. площади в единицу времени)

→ на се не посылать энергию

Считаем тело настолько большим, что как-нибудь ничего не проходит.

$$\rho(\nu) \frac{c}{4\pi} A(\nu, \Theta) \cos \Theta d\nu 2\pi \sin \Theta d\Theta \quad (1)$$

(*) $\rho(\nu)$ в вакууме под-от от времени зависеть не должна

В равновесии часть поглощённой энергии компенсируется излучаемой энергией тела.

Введём излучательную способность: $\mathcal{J}(\nu, \Theta)$

$$(2) \mathcal{J}(\nu, \Theta) d\nu 2\pi \sin \Theta d\Theta - \text{энергия излучаемая в } d\Theta$$

Чтобы было равновесие $\text{изл} = \text{погл} \Rightarrow (1) = (2)$ тогда должно выполняться (*)

$$\frac{J(\nu, \theta)}{A(\nu, \theta)} = \frac{c}{4\pi} \rho \nu \cos \theta$$

— J и Кирхгофа для равновесного излучения

Важно: отношение не зависит от ν и θ тела (его характеристиками не являются)

3) и получены в предположении:

1) безымянная поверхность

2) не происходит поглощения (уменьшение частоты)

При учете шероховатости поверхности переходим к интегралам:

$$\int J(\nu, \theta) 2\pi \sin \theta d\theta = \frac{c \rho \nu}{4\pi} \int A(\nu, \theta) \cos \theta 2\pi \sin \theta d\theta$$

Учтем уменьшение излучения

$$\int J(\nu, \theta) 2\pi \sin \theta d\theta d\nu = \frac{c}{4\pi} \int \rho \nu A(\nu, \theta) 2\pi \sin \theta \cos \theta d\theta d\nu$$

Состояние равновесия тела с излучением при какой-то тем-ре T

Введем идеализацию:

Абсолютно черное тело (АЧТ) — тело, поглощающее все падающее излучение и ничто не отражающее

$$A(\nu, \theta) = 1$$

У нас есть пример — печная камера

Искусственный АЧТ — полость с дырочкой, стенки покрыты сажей. Обратная и с каждым отражением поглощается все больше



J_0 — полная излучательность (по всей пов-ти тела во все направления)

$$J_0 = \frac{c}{4\pi} \int_0^\infty \rho \nu d\nu \int_0^{\pi/2} 2\pi \sin \theta \cos \theta d\theta = \frac{c}{4\pi} U$$

где U — внутр. энергия

$$J_0 = \sigma' T^4 \quad \sigma' = \frac{c}{4} \sigma$$

Излучение АЧТ — равновесное излучение

В случае неравнов. излучения

$\rho \nu \vec{n} d\nu d\Omega$ — параллел. пучок энергии (может сильно зависеть от \vec{n})

Введем эквивалентную тем-ру $T_{\text{экв}}$ — тем-ра равновес. излучения для $\rho \nu$ излучения. Фактически совпадает с $\rho \nu$ для неравн. излучения

$$p_{\vec{n}} = \frac{1}{4\pi} p_{\vec{n}}(T_{\text{эфф}})$$

$$T_{\text{эфф}} = \frac{h\nu}{k \ln \left(1 + \frac{2h\nu^3}{c^3} \frac{1}{p_{\vec{n}}} \right)}$$

Величина ν по направлению \vec{n}

$T_{\text{эфф}} = T_{\text{чернотела}}$ - если подставим равновес. излучение
Используем для оценки излучения.

Квантовая теория теплоемкости идеального газа.

В идеал. газе предполагаем взаимодействия между частицами

$a \gg \lambda_{\text{деброгилье}}$ где a - расстояние между частицами
(здесь $\lambda_{\text{деброгилье}}$ \ll $\lambda_{\text{деброгилье}}$ где $\lambda_{\text{деброгилье}}$ \gg a не применимо)

Воздуш. ф-ция хорошо описывается классикой.

Теплоемкость для одноатом. газа тоже получается хорошо.
Для двухатомной возникают проблемы (теплоемкость равна при $\nu_{\text{вращ}} \ll T$ и $\nu_{\text{колеб}} \ll T$.)

Как моделировать? Двухатомная молекула - классик. вращ. - квантов. колеб.

$$U = \underbrace{\text{колеб.}}_{\text{классика}} + \underbrace{\text{вращ.}}_{\text{классика}} + \underbrace{\text{колеб.}}_{\text{квантовое}} - \text{для двухатом. м-лы}$$

Для описания квант. энергии:

$$U_{vib} = N k T^2 \frac{\partial \ln Z_{vib}}{\partial T}$$

vib - вибратонная (колеб.)

Z_i - отдельный осциллятор

$$c_v^{vib} = \frac{\partial U_{vib}}{\partial T} \Big|_N \quad \text{Вклад } \nu \text{ теплоемкости от колеб.,}$$

$$c_v^{vib} = R \left(\frac{h\nu}{kT} \right)^2 \frac{\exp(-h\nu/kT)}{(e^{-h\nu/kT} - 1)^2} - \text{это соответствует экспоненциальной}$$

$$kT \gg h\nu, \quad T \gg T_v = \frac{h\nu}{k} - \text{характерная вибратонная тем-ра}$$

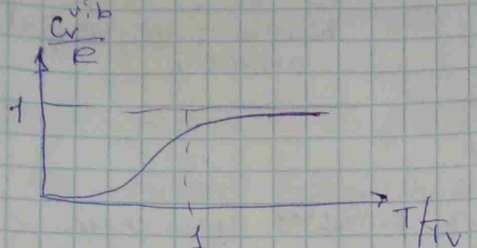
$c_v^{vib} \approx R$ на одну степень свободы на одну молекулу
сопоставляется с теоремой о равновес. распред. энергии по степеням свободы и с теоремой о диссипации

$$T \gg T_v \quad c_v^{vib} \approx R \left(\frac{T_v}{T} \right)^2 e^{-T_v/T}$$

vib теплоемкость экспоненциально уменьшается при уменьш. тем-ра

возникает как-будто и нет колебаний при низких тем-рах

Эта кривая — эксперименте колебаний степеней свободы.



Для квантового осциллятора, чья энергия колебаний сопоставима с энергией теплового движения, т.е. похожа на квантовый осцилятор.

Для чего можно ввести характеристическую температуру:

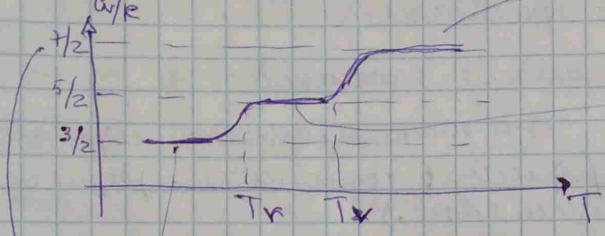
$$T_n = \frac{h^2}{2kI},$$

где I — момент инерции молекулы (относительно оси перпендикулярной к плоскости вращения)



Для $T > T_n$ — также происходит возбуждение вращения

Качественно:



→ вращение и колебание

→ каждая молекула по-прежнему может вращаться

→ при учете колебаний атомов в молекуле по формуле класс. осциллятора

→ по сравнению с одноатомным газом добавляются вращательные и колебательные

Для равновесных двухатомных молекул $T > T_n$

Для водорода H_2 : $T_n = 84,4^\circ K$, $T_v = 6100^\circ K$

Для столкновения молекул возможны диссоциации — разрыв на 2 атома когда $E_{вращ-виб} > E_{связи}$

Характерная температура $T_{дис} = 53000^\circ K$ для H_2

Квантовая теория теплоемкости твердого тела

Эта кривая

На каждую колебательную степень свободы приходится число значений kT , где k — число значений k и мы получаем $c_v = 3R$ для одной атомной молекулы на осцилляторе. В равновесии, разл. энергии по степеням свободы и энергии о вращении. Но экспериментально — при комнатной температуре формула не работает.

→ колебания решетки твердого тела как квантового осциллятора

$$U = 3N^* \left(\frac{h\nu^2}{2} + \frac{h\nu}{e^{h\nu/kT} - 1} \right)$$

Энергия тепловых колебаний — здесь приходится делить на $(N^* - \text{величина})$

$$c_v = \frac{3R \left(\frac{h\nu}{T} \right)^2 e^{-h\nu/T}}{\left(e^{-h\nu/T} - 1 \right)^2}, \text{ где } T_\Theta = \frac{h\nu}{k}$$

— температура Эйнштейна

$\lim_{T \gg T_3} c_v \approx 3R$
 $\lim_{T \ll T_3} c_v \sim e^{-T_3/T}$

Экспоненциальная зависимость.

Важнее всего, но μ с помощью энергии. Молекулы следуют и несут импульс и вращ. д.в. - нии.

В эксперименте температура Эйнштейна - не такая (теория Эйнштейна мала) - в решетке совсем не проявляются осцилляторы

он предположил, что атомы кристалла, решетка проявляют

Дебай: квантовые осцилляторы в кристалле имеют опред. частоты (не конкретную частоту как у Эйнштейна)

$$U = \sum_{k=1}^{3N} \frac{\hbar \nu_k}{2} + \sum_{k=1}^{3N} \frac{\hbar \nu_k}{e^{\hbar \nu_k / kT} - 1}$$

U_0
(не играет роль)

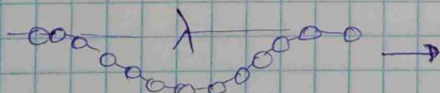
N -велико $\Rightarrow \Sigma \rightarrow \int$

$$\Rightarrow U = \int \langle E(\nu) \rangle z(\nu) d\nu$$

$z(\nu)$ - число квант. осцилляторов на единицу интервала частот

Предположение Дебая: в качестве квантовых осцилляторов надо \neq не отдельные атомы в узлах решетки, а упругие волны. Каждая волна - квантов. осциллятор

Упругие волны в кристалле, всё поле,



или продольное

Таковое движение частоты ν вёр теле как для звук. Звуковые колебания - фононы

$$z(\nu) = V 4\pi \nu^2 \left(\frac{1}{v_l^3} + \frac{2}{v_t^3} \right)$$

звук. скорости продольная (\parallel) поперечная (\perp)

Будет звуковое возмущение по направлению туда/обратно для попереч. волны

$$\frac{1}{v_l^3} + \frac{2}{v_t^3} = \frac{3}{v^3}$$

Важно: Волна - дискретная структура

Для фонон. система необходимо много атомов на длине волны

Сротно по частоте

$$\int_0^{\lambda_{\min}} z \cdot d\lambda = 3N$$

где λ_{\min} - макс возможная длина волны

$$\frac{4f}{\sqrt{3}} V \lambda_{\min}^3 = 3N$$

a - период кристаллической решетки

$$V = a^3 N$$

$$\lambda_{\min} = \sqrt[3]{\frac{3N}{4fV}}$$

$$\lambda_{\min} = \frac{\sqrt{a}}{\sqrt{f}} = \left(\frac{4f}{3}\right)^{1/3} a \approx 1,6a$$

Оценка минимально возможной длины волны фоновых - хорошее соотношение с экспериментом (различно, потому что меньше длина не может)

$$T_D = \frac{h\lambda_{\min}}{k} = \frac{h}{k} \left(\frac{3}{4f}\right)^{1/3} \frac{\sqrt{a}}{a} - \text{температура Дебая}$$

Можно оценить для конкретного кристалла

$$U = U_0 + \int_0^{\lambda_{\min}} \frac{12\pi V}{\sqrt{3}} \frac{h\nu^3}{(e^{h\nu/kT} - 1)} d\nu$$

подставив энергию квант осциллятора и функцию для $z(\nu)$

переходим к дифференциальным переменным $x = \frac{h\nu}{kT}$ - наибольший длина волны действующая

$$U = U_0 + V \frac{12\pi kT}{\sqrt{3}} \left(\frac{kT}{h}\right)^3 \int_0^{\infty} \frac{x^3}{e^x - 1} dx$$

Термодинамика и стат. физика (Лекции)

Выясним, что происходит атомов в квант. реал.
образует упрощенные волны (их можно считать
ван. гар. осцилляторами)

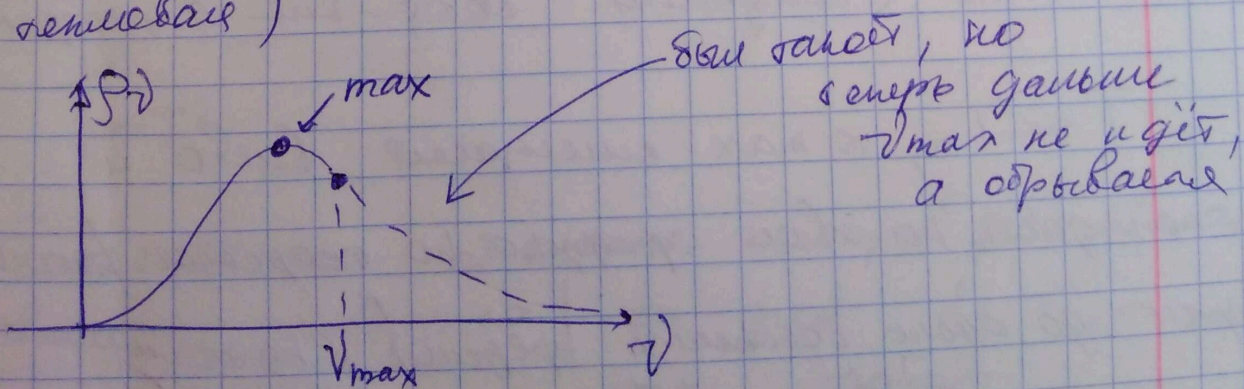
Это похоже на электромагн. излучение в
вакууме.

→ эти волны имеют только сред. длину волны
и если макс. частота ν_{max} и можно ввести
температуру Дебая: $T_D = \frac{h\nu_{max}}{k}$

Σ энергии по всем волнам, но если ввести
бездимензионо переменную $x = \frac{h\nu}{kT}$, то энергия будет

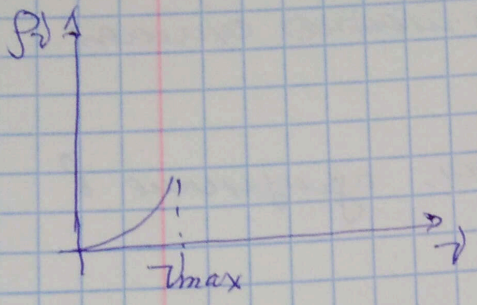
$$U = U_0 + V \frac{12\pi kT}{\sqrt{3}} \left(\frac{kT}{h}\right)^3 \int_0^{T_D/T} \frac{x^3}{e^x - 1} dx$$

↑
энергия (не
температура)



Высшая темп-ра $T \gg T_D$, макс в соот волн
формуле Планка и макс смещается по

середнее значение \Rightarrow при $T \gg T_D$ max существует
и получаем



и получаем, что $x \ll 1$
и тогда $e^x \approx 1+x$

получаем $\int_0^{T_D/T} x^2 dx = \frac{1}{3} \left(\frac{T_D}{T}\right)^3$

и подставив это в (1), можно кратко показать, что
получаем $U \approx U_0 + 3kT$

(в основном x -ом 1 грамм молекулы)
(при учете массы T_D)

и получаем $C_v \approx 3R$ (поверхности ящика)
Дюлонга - Дебая (получаем связь с энергией)

Если $T \ll T_D$, то max существует либо и
 v_{max} попадает на левый график по среднему значению

интеграл до очень больших предель, поэтому
заменим $\int_0^{T_D/T} \rightarrow \int_0^{+\infty}$ и получаем прак-тич
то что было в э/мал интеграл, только

то же самое $\frac{1}{25}$, а там для скорости света

$$\Rightarrow U = U_0 + V \frac{4}{5} \frac{\pi^5 kT}{15^3} \left(\frac{kT}{h} \right)^3 =$$

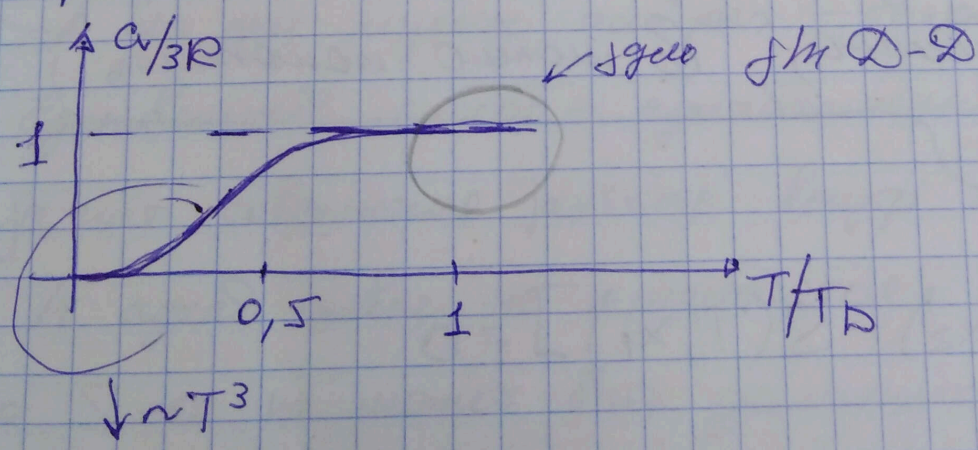
$$= U_0 + \frac{3}{5} \pi^4 Nk \frac{T^4}{T_D^3}$$

подставил
выражение
для T_D

$$C_V = \frac{12}{5} \pi^4 Nk \left(\frac{T}{T_D} \right)^3 - \text{это для температуры Дебая}$$

три лучших металла в приложении, в. метал.

формула похожая на Эйнштейна (ср. тем-та убывает, но по другой шкале (у Э-ка было по exp-те)



Еще говорить об оценке температуры Дебая (она зависит от материала), но для $Ag T_D \sim 295^\circ K$ золото

$$Zn T_D \sim 234^\circ K$$

иные для них уже хорошо работает $\frac{1}{4}$ Дебая

Состояние и координатное, и каноническое

Третье начало термодинамики (Функция Нернста)

Один из постулатов феноменолог. терм-ки

Он связан с нулевой тем-рой (а там χ -изоболь, α - $\beta\alpha$)

Для совершенной тем-ры в абсолют. нулю энтропия S' всех равновесных состояний стремится к одному и тому же для всех систем конечному значению, в можно показать равному нулю

$$\lim_{T \rightarrow 0} [S(T, x_2) - S(T, x_1)] = 0$$

↑
где x_1 и x_2 — любые один и тот же параметр.

Или в дифференц. форме:

$$\lim_{T \rightarrow 0} \left(\frac{\partial S}{\partial x} \right)_T = 0$$

не обязательно время, параметр, может и быть-то
главное, что он характеризует систему.

$$S(A) = \int_{(T=0)}^{(A)} \frac{\Delta Q^*}{T}$$

может за конечный предел время параметр при
стремлении к абсолют. нулю.

И константу добавлять не надо,

чтобы его вычислить, а нулю надо $\frac{\Delta Q^*}{T}$
при нулевых тем-рах.

При высоких тем-рах можно ожидать
константу с более высокой тем-рой

А вот при нулевых тем-рах - такой кельв

Единственный способ - адиабатический процесс;

за счёт совершения работы внутр. энергия \downarrow и $T \downarrow$

А адиаб. кривые не пересекаются, а все время

с $S=0$ не может быть достигнуто, т.к. адиабата
сближается с нулевой, а получается, что

за счёт адиабатич. процесса кельв достигнуть
абсолютного нуля.

Лин α парамателем, и там было ^{при осцилляции} уменьшение
 поле приводит к уменьшению α и α (магнитокоэффициент энергии)

И α -ли до этого диаметр колец и номерных
 молекул и для него был эквивалент, энергии
 и для неё получали диаметр.

Возможное равенство $E \rightarrow H$, $D \rightarrow B$, $E \rightarrow \mu$, $\alpha \rightarrow \chi_m$

Возьмем формулу для энергии взаимодействия в электр
 поле и сделаем такую замену, получим энергию
 парамателем;

$$S = S_0(T) - \frac{V}{8\pi} H^2 = \frac{4\pi d m}{T^2}$$

↑
 при включении
 поле

Когда $H \uparrow$, то B тоже будет убывать. Сделаем
 с большим маг. полем имеют наименьшую
 энергию (а энергия - это хаос) $\Rightarrow S$ убывает

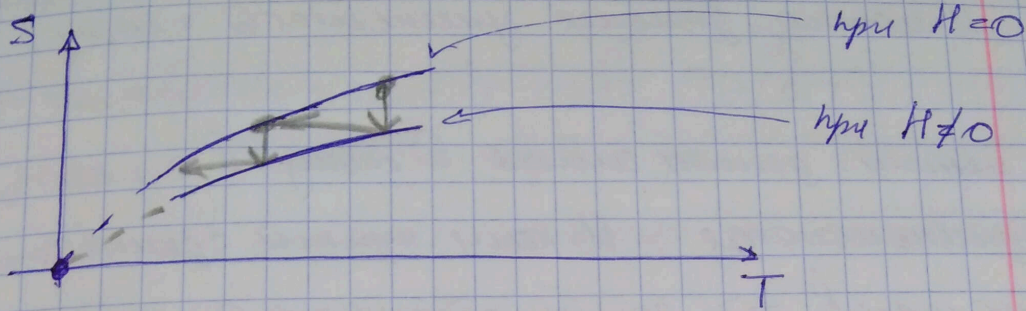
при \uparrow поле

$$\frac{\partial S_0}{\partial T} = \frac{C_V B}{T}$$

при постоянной T и B

↑
 внешн,
 параметр

Можно рассмотреть кванты энергии ϵ от центра для парашапельки



лучше, т.к. это справедливо при больших тем-рах
наши термич. константы μ классич. и кб. эрроры
небольш. учтены.

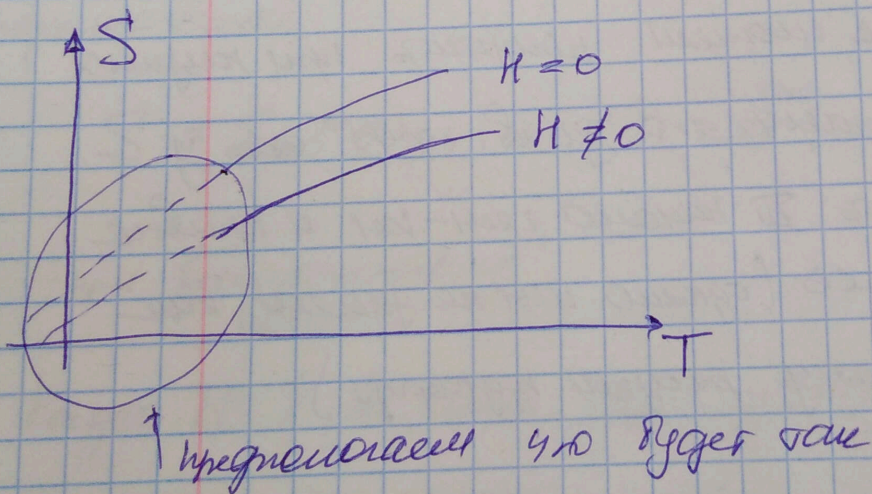
При $H \neq 0$ мы не можем получить при квант.
тем-рах, мы не знаем, что за кб. эррор. есть у
парашапельки, но есть μ начало тем-кет и приведе
движение в 0 сойтись (однако мы не знаем как
они ведут - по форму рисует график)

Введем систему в равновесие с окружающей,
но если включаем поле H ($\Rightarrow S \downarrow$ т.к. выключим
поле) выключаем это в-во в окружающ.
оболочку и медленно выключаем выключаем
поле. Рау процесс адiabатич. \Rightarrow по Т грима

уменьшается. Это и есть макроскопический эффект. И можно дальше уменьшать температуру

Но так, чтобы достичь нуля в точку 0 , то шаги уменьшаются, и как мы увидим сделав ∞ -число шагов \Rightarrow достичь абсолютного нуля не получаем (можем только приближаться)

А что было бы если не работало Π начало термодинамики?



Тогда за конечное число шагов получаем что денеем приходим к $T=0$

Следствие Абсолютный нуль тем-р не достигим

Он подтверждается всеми теоретич. расчетами и эксперимент. данными.

$$\neq \text{температура} \quad C = T \left(\frac{\partial S}{\partial T} \right)_P = \frac{\partial S}{\partial (\ln T)}$$

уменьшим $T \rightarrow 0 \Rightarrow \ln T \rightarrow -\infty$

уменьшим энтропию конечно \Rightarrow температура $\rightarrow 0$

Следствие. Любая температура должна стремиться к 0

при приближении к абсолютному нулю.

$$\text{Было} \quad \alpha = \frac{1}{V} \left(\frac{\partial V}{\partial T} \right)_P = -\frac{1}{V} \left(\frac{\partial S}{\partial P} \right)_T$$

уменьшим $T \rightarrow 0, \infty \quad \frac{\partial S}{\partial P} \rightarrow 0$

т.е. зависимость от параметра стремится к 0 и \Rightarrow

$\alpha \rightarrow 0$.

Об однозначности определения энтропии
в феноменол. определении

$$S(T, V) = \int_0^T \frac{C_V}{T} dT$$

↑
можно заменить так

\Rightarrow получаем возможность вычислять S при любых
дел-рах (но должны быть как ведет себя C_V при

нейных состояниях, тогда неоднородностью квант

$$S(T, p) = \int_0^T \frac{c_p}{T} dT$$

если знаем как c_p ведет себе при $T \rightarrow 0$, то сможем определить S .

Что будет давать квантовая статистика?

Общая феноменологич терка хорошо работает и в классике и при кван. ушелках.

След по теории квантового $S = - \left(\frac{\partial F}{\partial T} \right)_N$

Мог χ квантовую систему в равновесии с термостатом

$$F = -kT \ln Z$$

$$Z = \sum_n g_n e^{-E_n/kT}$$

↑
сумма

$$\Rightarrow S = k \frac{\partial}{\partial T} (T \ln Z)$$

С точки зрения квантовой статистики писали так:

$$S = -k \sum_n g_n p_n \ln p_n = -k \sum_n g_n \frac{1}{Z} e^{-E_n/kT} \left[-\frac{E_n}{kT} - \right.$$

элемент
матрицы

подставим
каноническое
распределение

$$\left. - \ln Z \right] \equiv$$

$$\Theta \quad k(\ln z) \left\{ \sum_n g_n \frac{1}{z} e^{-E_n/kT} \right\} + \frac{1}{zT} \sum_n g_n E_n e^{-E_n/kT}$$

Велики каини, раур. идеја
и проци - ми по вели
нвал; соделени с
учетом возмоден
 \Rightarrow это равно 1.

$$= k \ln z + \frac{1}{zT} kT z \frac{\partial z}{\partial T} = k \ln z + \frac{kT}{z} \frac{\partial z}{\partial T}$$

Ода цих определени дава оди и ост же
резултат. $\square = \square$

Ели $kT \ll E_1 - E_0$
след. ↑
уровень ↑ самый
нижий энергет. уровень

\Rightarrow при $h=0$ будет только одно состояние, следовательно
будет exp-но убывать и будет мало.

$$\Rightarrow z = z_0 = g_0 e^{-E_0/kT}$$

$$\Rightarrow S = S_0 = k \ln g_0$$

Возрастаем тем-ту еще больше и это будет
выполняться \Rightarrow выполняется и при $T \rightarrow 0$

Ели предположим, что кратное число уровней
равно $g_0 \neq 1$, то получаем что $S > 0$ и получаем

принцип Нернста. Но это не так.

В нашем случае нет оснований предполагать, что нулевой уровень не вырожден

Но можем утверждать (предположим), что

$$g_0 \ll N.$$

Внимает где $g_0 > N$ - не убывает

→ если предположим, что

$$S_0 \approx k \ln N$$

Работает принцип аддитивности энтропии, т.е.

$$S \approx kN$$

$$\Rightarrow \text{получаем } \frac{S_0}{S} \approx \frac{\ln N}{N} \ll 1$$

Схорошей стороны относим внимание на то что кратное вырождение не равно 1 и мы можем говорить что S_0 всегда меньше остальных значений S , т.е. $S_0 \rightarrow 0$ при $T \rightarrow 0$

⇒ получаем принцип Нернста

⇒ вырожденности иван. статистики нет

получили $c_v = \frac{12}{5} \cdot 4 \text{ kN} \left(\frac{T}{T_0}\right)^3$

и видим что $c_v \rightarrow 0$ при $T \rightarrow 0$

(что получили и из следствия III нац. тер-ки)

$$S' = \int_0^T \frac{c_v}{T} dT = \frac{4}{5} \cdot 4 \text{ kN} \left(\frac{T}{T_0}\right)^3$$

подставим

c_v из тер-ки Дебая

и соотносим с III
начинаем тер-ки

Видим что условие справедливо при $T \ll T_D$

Но это условие более простое, чем условие

что $kT \ll E_1 - E_0$ более сложно выполнить.

Видим что принцип Нерста выполнен и на практике.

Что происходит при $T \rightarrow 0$? Вещество?

В-во превращается в кристалл.

Но кристалл не превращается в кристалл при

$T \rightarrow 0$ но в тер-ки жидкого кристалла $c \sim T^3$

и для него получаем всё в полном соответствии

с III начинаем тер-ки

Самая простая система не взаимодействующих
одинаковых частиц.

Здесь говорим о квантовой статистике.

В некоторых случаях дисперсия становится
не особо важной.

У квант. частиц есть ещё одно св-во!

одинаковые частицы в квантовой механике
принципиально неразличимы

Это приводит к эффекту - обменное взаимодействие

≠ 2 μ (различимости) (где μ - в. в. в. слабее) Но

для многих тел так возникает обменное

в-во и поэтому в-во частиц зависит

на бозоны и фермионы. Для фермионов есть

запрет Паули

Система с переменным числом частиц имеет
другое распределение энергии по квантовым состояниям

Большое каноническое распределение
в квантовой статистике

температура
вероятность

$$\rho = \frac{1}{\Omega} e$$

$$\frac{\mu N - \mathcal{H}(q, p, N)}{kT}$$

$$\Omega = \int e^{\frac{\mu N - \mathcal{H}(q, p, N)}{kT}} \frac{d\Gamma}{N!}$$

Большое каноническое распределение
где переменного числа частиц в системе

каждому имеет значение? $N!$ делится
как перейти к кваз. случаю?

Заменяем операторами:

$$\rho = \frac{1}{\Omega} e^{-\frac{\hat{H}_N - \hat{H}_N}{kT}}$$

оператор
магнитного
момента

\hat{H}_N - оператор Гамильтона

↑ элемент со значением числа частиц ↓

$$\rho_{Ni} = \frac{1}{\Omega} e^{-\frac{\mu N - E_{Ni}}{kT}}$$

↑ В-то то что элемент относится к N частиц
в данном состоянии i с энергией E_{Ni}

$$\Omega = \sum_N \sum_i g_i e^{-\frac{\mu N - E_{Ni}}{kT}}$$

↑
большая составляющая суммы
неизменяется при переименовании ρ_{Ni}

В нашем случае берем дискретное
число частиц и тем самым изобразим

А в кваз. случае так нельзя,

$$\Omega = -kT \ln \Omega$$

$$\text{где } \Omega = \Omega(\mu, N, V)$$

до определения
термодин. потенциал
Гибса также сохраняется
се вид, если

Используя для соотношения можно увидеть, что

$$\left(\frac{\partial \Omega}{\partial \mu}\right)_{T, V} = \langle N \rangle$$

Распределение Бозе и Ферми.

$f_{n_i} = e^{-\frac{\epsilon + \mu N - \epsilon n_i}{kT}}$ - Вероятно то что система содержит N частиц и находится в состоянии с энергией $N \epsilon$.

N не идеал газ из независимых частиц.

Каждая частица находится в некотором состоянии и это состояние характеризуется квадратом числа $(N$ их будем считать как \vec{k})

это не волновой вектор

Этому состоянию соответствует энергия $\epsilon_{\vec{k}}$.

Если $N_{\vec{k}}$ - число частиц (число заполнения этого состояния)

тогда число частиц складывается из всех чисел заполнения для каждого \vec{k}

$$N = \sum_{\vec{k}} N_{\vec{k}}$$

Энергетич. уровень складывается из всех энергий

$$E_{N_i} = \sum_{\vec{k}} \epsilon_{\vec{k}} N_{\vec{k}}$$

Каждой конкретной хар-ке объёмной

энергии соответствует определённый объём

Случайным образом числа заполнения $N_{\vec{k}}$

Для идеал. газа наход. в рав-нии с термобатареей

$$f_{N_i} = e^{-\frac{E_{N_i}}{kT}} \exp \left\{ \frac{\sum_{\vec{k}} (\mu - \epsilon_{\vec{k}}) N_{\vec{k}}}{kT} \right\} =$$

т.к. само число $N_{\vec{k}}$ получаем

$$= e^{-\frac{E_{N_i}}{kT}} \prod_{\vec{k}} e^{\frac{(\mu - \epsilon_{\vec{k}}) N_{\vec{k}}}{kT}}$$

$N_{\vec{k}}$ — дискретная ступ. величина,

большая вер-ть разбивается на прецеденты

\exp , в-не зависит от состояния,

Верно то, что в \vec{k} -том состоянии находится

$N_{\vec{k}}$ частиц не зависит от того сколько частей

в другом состоянии

$$f(N_{\vec{k}}) = C e^{\frac{(\mu - \epsilon_{\vec{k}}) N_{\vec{k}}}{kT}}$$

C - константа из нормировки

$$\sum_{N_{\vec{k}}} p(N_{\vec{k}}) = C \sum_{N_{\vec{k}}} e^{-\frac{(\mu - \epsilon_{\vec{k}}) N_{\vec{k}}}{kT}} = 1$$

Сколько в среднем частиц находится ^{одноим} в \vec{k} -состоянии в системе, каково-ли в равн. с тер-ом?

$$\langle N_{\vec{k}} \rangle = \sum_{N_{\vec{k}}} N_{\vec{k}} p(N_{\vec{k}}) =$$

$$= \frac{\sum_{N_{\vec{k}}} N_{\vec{k}} \exp\left\{-\frac{(\mu - \epsilon_{\vec{k}}) N_{\vec{k}}}{kT}\right\}}{\sum_{N_{\vec{k}}} \exp\left\{-\frac{(\mu - \epsilon_{\vec{k}}) N_{\vec{k}}}{kT}\right\}} =$$

$$= kT \frac{\partial}{\partial \mu} \ln \left(\sum_{N_{\vec{k}}} e^{-\frac{(\mu - \epsilon_{\vec{k}}) N_{\vec{k}}}{kT}} \right) \quad (*)$$

Бозоны - частицы с \mathbb{Z} числом спинов. Значение

$$N_{\vec{k}} - \text{моды} = 0, 1, 2, 3, \dots$$

тогда в (*) будет геометрическая прогрессия со

$$\text{уменьшающейся } q = \exp\left\{-\frac{\mu - \epsilon_{\vec{k}}}{kT}\right\}$$

тогда $\langle N_{\vec{k}} \rangle$ была конечной, тогда сумма

должна сходиться \Rightarrow должна быть убывающей

\Rightarrow все геометрическая прогрессия \Rightarrow уменьшаться q

должен быть $< 1 \Rightarrow$ должны потребовать, чтобы
 $\mu \leq 0$ ($\epsilon_F \geq 0$)

$$\langle N_{\vec{k}} \rangle = -kT \frac{\partial}{\partial \mu} \left\{ \ln \left(1 - e^{\frac{\mu - \epsilon_{\vec{k}}}{kT}} \right) \right\} =$$

$$= \frac{1}{e^{\frac{\epsilon_{\vec{k}} - \mu}{kT}} - 1}$$

$$\langle N_{\vec{k}} \rangle = \frac{1}{e^{\frac{\epsilon_{\vec{k}} - \mu}{kT}} - 1}$$

— распределение
Бозе-Эйнштейна

Фермионы — частицы с полуцелым спином.

Для них справедливо правило Паули, т.е. $N_{\vec{k}} = 0, 1$.

$$\langle N_{\vec{k}} \rangle = -kT \frac{\partial}{\partial \mu} \left\{ \ln \left(1 + e^{\frac{\mu - \epsilon_{\vec{k}}}{kT}} \right) \right\} = \frac{1}{e^{\frac{\epsilon_{\vec{k}} - \mu}{kT}} + 1}$$

$$\langle N_{\vec{k}} \rangle = \frac{1}{e^{\frac{\epsilon_{\vec{k}} - \mu}{kT}} + 1}$$

— распределение
Ферми-Дирака

Еще есть квант. поляризация, если $\vec{k} \rightarrow \infty$
 квант n_x, n_y, n_z — числа вост. де-Бройля,
 S — спиновое число.

А как же нам вернуться к массе?

Если \vec{k} -ем считаем предельное, ∞

Если \neq носец. энергии $= 0$ ($u(\vec{v}) = 0$), то

$$\langle dn(\vec{p}, \vec{r}) \rangle = \frac{N}{V(2\pi m kT)^{3/2}} \exp\left\{-\frac{p^2}{2m kT}\right\} d^3p d^3r \quad (1)$$

среднее число носец. энергии в элементе μ -пространства с объемом $d^3p d^3r$

$$E_{\vec{v}} = \frac{p^2}{2m}$$

Кинетическая энергия носца в вакууме, предполагая.

$$\mu = \left(\frac{\partial F}{\partial N}\right)_{T, V}$$

воб. энергия идеал. газа относим.

$$F = -NkT \ln V - \frac{3N}{2} kT \ln(2\pi m kT) + 3NkT \ln(2\pi h) + kTN \ln N - kTN$$

$$\Rightarrow \mu = kT \ln \left\{ \frac{(2\pi h)^3 N}{V(2\pi m kT)^{3/2}} \right\}$$

введём в (1) найденную каноническую функцию

$$\langle N_{\vec{v}} \rangle = (2\pi h)^3 \frac{N}{V(2\pi m kT)^{3/2}} \exp\left\{-\frac{p^2}{2m kT}\right\} \quad (2)$$

(1) и (2) хотим, но между ними соотношение

$$\langle N_{\vec{z}} \rangle = \langle \ln(\vec{p}, \vec{r}) \rangle \frac{(2\pi\hbar)^3}{\int \vec{p} \int \vec{r}} \quad ?$$

Имеем ли здесь какое соотношение

$\int \vec{p} \int \vec{r}$ - объем ячейки фазового пространства

$(2\pi\hbar)^3$ - для одной

Среднее число частиц в одной ячейке фазового пространства = число частиц деленное на объем

Нам нужно чтобы в μ под \ln была малая величина

\Rightarrow условие $\langle N_{\vec{z}} \rangle \ll 1$ эквивалентно условию

$$\frac{(2\pi\hbar)^3 N}{V (2\pi m k T)^{3/2}} \ll 1$$

Фигура это наше дело!

Температура выше де Бройля $\lambda = \frac{2\pi\hbar}{m v}$

v - характерная скорость частиц

Тогда $\lambda_T = \frac{h}{\sqrt{2\pi m kT}}$ - тепловая длина волны де Бройля

$\frac{V_{объем}}{N_{число частиц}} = l^3$ где l - среднее расстояние между частицами

Тогда $\left(\frac{\lambda_T}{l}\right)^3 \ll 1$ - это еще самое упрощение (xx)

↑
 критерий перехода к классич. пределу.

Идеал. газ как се вырожденным если он описывается классич. и он ед-ся вырожденным, если описывается квант.

Тем-ра вырождения $T_{выр} = \frac{h^2}{k m} \left(\frac{N}{V}\right)^{2/3}$

Классич. предел $T \gg T_{выр}$

Если $T \sim T_{выр}$ или $T < T_{выр}$ - ∞ будет описываться квант. формулами

1. Воздух при нормал. атм. давлении и при норм. тем-ре.

Делаем оценку тем-ры вырождения

$$\frac{N}{V} \sim 10^{19} \frac{1}{\text{см}^3}$$

$$m = \frac{M_0 \text{ — молярная масса}}{N_A} \approx \frac{30}{6 \cdot 10^{23}} \approx 5 \cdot 10^{-23} \text{ — масса молекулы воздуха}$$

$$T_{\text{выр}} = \frac{(6,6 \cdot 10^{-27})^2}{1,38 \cdot 10^{-16}} \cdot \frac{1}{5 \cdot 10^{-23}} (10^{19})^{2/3} \approx 6 \cdot 10^{-2} \text{ К}$$

Ни о каких «вантовых» эффектах при переходе от воздуха в вакуум.

√2.

Эксперимент проводился с кристаллом, барометром.

$$\left(\frac{N}{V}\right) \sim 5 \cdot 10^{22} \frac{1}{\text{см}^3} \quad m \approx 10^{-27} \text{ з}$$

$$T_{\text{выр}} \approx 8 \cdot 10^4 \text{ К}$$

⇒ шестая вращательная, при этом не только в обычных условиях, но и при более сильных

√3. Акустика

$$\frac{N}{V} \sim 10^{16}$$

$$T_{\text{выр}} \sim 10 \text{ К}$$

$$\text{в конденсате} \quad \frac{N}{V} \sim 10^6$$

Электропроводимость металла

$$\frac{N}{V} \sim 10^{26}$$

Твердотельно металл

Тепловая ионизация атомов.

Ионизация газ (разреженный). Атом хаотич, движется и переходит состояние и при ударе электроны образуются свободные и образуют ток.

$$n = e + i$$

↑
катодах

← электрон ион

Кроме процессов ионизации может происходить рекомбинация, где $e + i = n$

возникает равновесное количество катодов, e и ионов.

Если система закрыта. Тогда число e и ионов остается постоянным $N_e + N_i = \text{const}$

Вне односторонней ионизации $N_e = N_i$

Если происходит все при $\mu = \text{const}$ и $T = \text{const}$

Может в условиях канонического термодинамики, равновесие.

$$\Phi = \Phi(T, P, N_n, N_e, N_i)$$

Условн критерий в равновесии для данного случая нулево тогда выполнялось термодинамическим

$$\delta\Phi = \frac{\partial\Phi}{\partial N_n} \delta N_n + \frac{\partial\Phi}{\partial N_e} \delta N_e + \frac{\partial\Phi}{\partial N_i} \delta N_i = 0$$

$$\frac{\partial\Phi}{\partial N_n} + \frac{\partial\Phi}{\partial N_e} \frac{dN_e}{dN_n} + \frac{\partial\Phi}{\partial N_i} \frac{dN_i}{dN_n} = 0$$

Связи между числами ионов, e и нейтр. атомов
вытекают с химии и $dN_i = -dN_n$, $dN_e = -dN_n$

$$\frac{\partial\Phi}{\partial N_n} - \frac{\partial\Phi}{\partial N_e} - \frac{\partial\Phi}{\partial N_i} = 0$$

Этакая для системы атомов

$$\Phi = \sum_k N_k \mu_k \quad \text{и} \quad \mu_k = \left(\frac{\partial\Phi}{\partial N_k} \right)_{T, P}$$

Тогда условие эквивалентности

$$\mu_n - \mu_e - \mu_i = 0$$

$\mu_n = \mu_e + \mu_i$ — условие эквивалентности для равновесия системы данной системы.

условие термодинамического равновесия

Для μ -и в разнесенной газ.
 И тогда было доказано соударения \neq и

$T \gg T_{\text{вир}} \Rightarrow$ классика

$$\langle N_{\vec{e}} \rangle = e \frac{\mu - \epsilon_{\vec{e}}}{kT}$$

$$\sum_{\vec{e}} \langle N_{\vec{e}} \rangle = N$$

и отношение классическое, а нужно затисать $\epsilon_{\vec{e}}$

разносительное ф-ние \vec{e} можно с большей
 точностью отменить классикой

$$\epsilon_{\vec{e}} = \frac{p^2}{2m}$$

Как затисать μ -и для \vec{e} ?

\vec{e} - не шенков Вир, степеней свободы и
 можем воспользоваться след формулой

$$\mu = kT \ln \left(\frac{(2\pi\hbar)^3 N_e}{V(2\pi m kT)^{3/2}} \right)$$

для
 идеал,
 газа.

В газе простейшее вырождение не
 забудем. Но для элекрона оно есть

и равно $2s+1$. Для \vec{e} $s = \frac{1}{2} \Rightarrow$ дуга

два е с одним соединением но разными ^{оттенками} степенями
 одному соединению с известным температурным
 и координат состоят два е с разными
 направлениями степеней

$$\Rightarrow \mu_e = kT \ln \left(\frac{(2\pi\hbar)^3 N_e}{2 \cdot V (2\pi m kT)^{3/2}} \right)$$

↑
уфа стана

Внешнее поле - кев
 $(\psi(\vec{r}) = 0)$

$$E_{\vec{r}} = \frac{p^2}{2m} + E_n$$

У атомов и молекул есть свои энергетич. уровни.

До сих пор ψ -ем все атомн, в находимся в основном энергетич. уровне и инт шемно от этого уровня ψ -ем.

Сейчас так поступают квант, а.к. кон и атом нейтральн
 кый шемноб разное основное состояние и \Rightarrow
 квант ввел один расчёт от конкретного уровня

Надо написать μ для иониз и нейтральных
 молекул, с.е. μ_n и μ_i

Используем условие нормировки: $\sum_{\vec{E}} \langle N_{\vec{E}} \rangle = N$
 Подставив $\langle N_{\vec{E}} \rangle$ при помощи формул, получаем

$$N_n e^{-\mu_n/kT} = \sum_{\vec{E}} e^{-E_{\vec{E}}/kT}$$

Тогда при определенных условиях суммирование по всем возможным состояниям можно считать

безразличное суммирование отбрасывая малые члены по сравнению с единицей $\rightarrow \int$ для непрерывного случая

$$e^{-\mu_n/kT} = \frac{1}{N_n} \int e^{-p^2/2mkT} \frac{d^3r d^3p}{(2\pi\hbar)^3}$$

значит, что вероятности для каждого состояния

число соседних в пространстве $d^3r d^3p$ в μ -уровне

$$\sum_i g_i^{(n)} e^{-E_i^{(n)}/kT}$$

суммирование по различным состояниям

$$= \frac{(\tilde{V})}{N_n} \frac{((2\pi mkT)^{3/2})}{(2\pi\hbar)^3} \sum_i g_i^{(n)} e^{-\frac{E_i^{(n)}}{kT}}$$

$\propto \int d^3r$ $\propto \int d^3p$

$$\Rightarrow \mu_n = kT \ln \left\{ \frac{N_n}{V} \frac{(2\pi\hbar)^3}{(2\pi mkT)^{3/2}} \sum_i g_i^{(n)} e^{-E_i^{(n)}/kT} \right\}$$

или, наоборот, для квант. молекул

Будем считать, что масса иона и масса нейтральных молекул одинаковы (т.е. одинаковая популяция)

Тогда в (*) надо заменить n на i только суммирование будет по другим квант. состояниям для иона. (но формула по виду такая же)

$$\left(\frac{N_i}{N_n}\right)^2 = \frac{V}{Nn} \frac{(2\pi mkT)^{3/2}}{(2\pi h)^3} \frac{2 \sum_k g_k^{(i)} e^{-E_k^{(i)}/kT}}{\sum_l g_l^{(n)} e^{-E_l^{(n)}/kT}}$$

Одинаковая популяция $N_e = N_i$ формула Саха

показывает отношение степеней ионизации (Здесь будет среднее значение числа N_i, N_e, N_n)

$$\left. \begin{array}{l} kT \ll (E_1^{(n)} - E_0^{(n)}) \\ kT \ll (E_1^{(i)} - E_0^{(i)}) \end{array} \right\} (*)$$

Энергия основного состояния меньше разности энергий иона и нейтр. атома в возбужденном состоянии и основном

Тагда формула Саха превращается в:

$$\left(\frac{N_i}{N_n}\right)^2 \approx \frac{V(2\pi m kT)^{3/2}}{N_n (2\pi\hbar)^3} \frac{2g_0^{(i)}}{g_0^{(n)}} e^{-\frac{(E_0^{(i)} - E_0^{(n)})}{kT}}$$

красная вырывается основного уровня

Энергия основного состояния пока больше энергии основного состояния нейтрал. атома. Их разность — это энергия ионизации

Как интересуется степень ионизации.

Есть предположение что степень ионизации порядка ионизации, т.е. $\frac{N_i}{N_n} \approx 1$

тогда видим, что

$$\frac{V(2\pi m kT)^{3/2}}{N_n (2\pi\hbar)^3} \gg 1 \rightarrow \text{до эквивалентно } T \gg T_{\text{выр}} \text{ около } 400$$

$\frac{g_0^{(i)}}{g_0^{(n)}}$ величина порядка 1.

→ т.е. это велико, то exp будет мала. (✓)

Но когда это будет? Когда $kT \ll (E_0^{(i)} - E_0^{(n)})$

это условие должно выполняться, т.е. требуется

Выпешение (*)

Ко я счёт първо \checkmark симметричния \checkmark болшого
получаем болшую энергию ионизации

$$\frac{N_{E1}}{N_{E0}} = \left(\frac{g_1}{g_0} \right) e^{-\frac{(E_1 - E_0)}{kT}}$$

1
отношение ионов/атомов в возбужд. состоянии
к числу ионов/атомов в основном состоянии

Какой смысл в первом симметричии?

$\frac{1}{\langle N_{E1} \rangle}$ - среднее число событий происходящих
на одну частицу когда
он переходит в непрерыв. спектр
(схватился)

$$\frac{V(2\pi m k T)^{3/2}}{N_n (2\pi \hbar)^3}$$

можно это показать

о.е. ~~преодолеет~~ \checkmark у дискретного спектра
в непрерывный и я счёт это получаем

(*)

В первом кв. симметричии идея, что
делает оценка для H_2 (водорода) оцениваем
тем-ру диссоциации (разад на два квант. атома)

А диссоциация и ионизация чем-то похожи. В основном, если температура может быть больше температуры диссоциации, надо аккуратно смотреть как рассчитывать температурный (о-к, может зависеть от диспер. спектра) переход в квантовом состоянии

Уравнение состояния квантового идеального газа из элементарных частиц.

Газ, где предполагаем сплошным газом или чашечкой. Визуал. состояние интересовать не будем, если они находятся в одном состоянии.

Однородные частицы не различаются в квантовой теории. Идеал. газ - частицы в разных квант. состояниях. Система спонтанно, квантования ее частиц в другом квант. состоянии

$$\sum_i p_{Ni} = \int_{\mathcal{K}} p_{N\mathbf{k}}$$

Верно, что в состоянии N частиц в i -ом квантовом состоянии

$$p_{N\mathbf{k}} = \frac{1}{\Omega_{\mathbf{k}}} e^{-\frac{(\mu - \epsilon_{\mathbf{k}}) N_{\mathbf{k}}}{kT}}$$

сумма по \mathbf{k} равна 1

$$\sum_{N_{\mathbf{k}}} p_{N\mathbf{k}} = 1$$

$$e_{\vec{E}} = \sum_{N_{\vec{E}}} e \frac{(\mu - \epsilon_{\vec{E}}) N_{\vec{E}}}{kT}$$

↑
числа состояний
всех квазиуровней
соседей

набор элементов
уровней для каждой
→ набор квазиуровней

$$\int N_{\vec{E}} = \frac{1}{e_{\vec{E}}} e$$

$$= \frac{1}{e_{\vec{E}}} \prod_{\vec{E}} e \frac{(\mu - \epsilon_{\vec{E}}) N_{\vec{E}}}{kT} \quad (1)$$

↑
полная стат. сумма кванто идеал, газа

$$\int N_{\vec{E}} = \prod_{\vec{E}} \frac{1}{e_{\vec{E}}} e \frac{(\mu - \epsilon_{\vec{E}}) N_{\vec{E}}}{kT} \quad (2)$$

Сравнивая (1) и (2) получаем $e_{\vec{E}} = \prod_{\vec{E}} e_{\vec{E}}$

До сих пор получили: $\Omega = -kT \ln e_{\vec{E}} =$
 большой термодинам. потенциал

$$= -kT \sum_{\vec{E}} \ln e_{\vec{E}} = -kT \sum_{\vec{E}} \ln \left[\sum_{N_{\vec{E}}} e \frac{(\mu - \epsilon_{\vec{E}}) N_{\vec{E}}}{kT} \right]$$

↑ по всем состояниям
↑ по всем числам
↑ заменяем
↑ заменяем

мы вычисляем её для бозонов и фермионов

$$\Omega = \pm \sum_{\vec{E}} \ln \left(1 \mp e^{-\frac{\mu - E_{\vec{E}}}{kT}} \right)$$

Бозоны фермионы

Что представляем собой набор $E_{\vec{E}}$?

Энергетические уровни прямоугольного бруса

с длиной a и шириной L

$$E_{\vec{E}} = \frac{\hbar^2 f^2}{2mL^2} (n_x^2 + n_y^2 + n_z^2)$$

или в виде Де Бройля λ убираем по x, y, z .

Может получить расстояние между энергиями, увеличим L если его направим к kT , ∞

$$\frac{\hbar^2 f^2}{2mL^2} = kT$$

то получаем при $L = 1 \text{ см}$, $\infty T \approx 10^{11} \text{ К}$

\Rightarrow уровни близко \Rightarrow классическая модель

применить.

Может от Σ перейти к \int , при попул. движении

$$E_{\vec{E}} = \frac{p^2}{2m} = \epsilon$$

переход к квазиклассической описанию

$$\Omega = \pm kT \int \ln \left(1 \mp e^{-\frac{\mu - \epsilon}{kT}} \right) \frac{g d^3p d^3r}{(2\pi\hbar)^3}$$

g - кратное вырождение по спину.

Мы считаем, что внеш. поле нет $\mu_0 = 0$

$\int d\vec{r}$ дает V , $\int d\vec{p}$ переходим к интегралу

по углам (это дает 4π) и интегралу по модулю $|\vec{p}|$.

$$\Rightarrow \Omega = \pm kT \frac{4\pi g V}{(2\pi\hbar)^3} \int_0^\infty \ln\left(1 + e^{\frac{\mu - \epsilon}{kT}}\right) p^2 dp$$

Учитывая связь импульса и энергии (нерелятивистская) можем перейти к \int -но по энергии

$$\Omega = \pm kT \frac{g m^{3/2}}{\sqrt{2} \pi^2 \hbar^3} V \int_0^\infty \ln\left(1 + e^{\frac{\mu - \epsilon}{kT}}\right) \sqrt{\epsilon} d\epsilon$$

Учитывая, что $\sqrt{\epsilon} d\epsilon = \frac{2}{3} d(\epsilon^{3/2})$

и проинтегрировав по частям, получим:

$$\Omega = -\frac{2}{3} \frac{g V m^{3/2}}{\sqrt{2} \pi^2 \hbar^3} \int_0^\infty \frac{\epsilon^{3/2} d\epsilon}{e^{\frac{\epsilon - \mu}{kT}} + 1}$$

Дискретного не учитываем, но разность гилбсона и фермиона учитываем

Внутр. энергия

$$U = \sum_{\vec{E}} \epsilon_{\vec{E}} \langle N_{\vec{E}} \rangle =$$

но все равно
всего
на ан. сред.
учитываю

смагываем, т.е. \neq ем
идеальный газ

$$= \sum_{\vec{E}} \frac{\epsilon_{\vec{E}}}{e^{\frac{\epsilon_{\vec{E}} - \mu}{kT} + 1}} =$$

подставляем распределение Б-Э и Ф-Д

$$= \int \frac{\epsilon}{e^{\frac{\epsilon - \mu}{kT} + 1}} \frac{g d^3p d^3r}{(2\pi\hbar)^3} \Rightarrow$$

$$\int d^3r = V \quad \int d^3p = 4\pi \int |p|^2 dp \rightarrow 4\pi \int d\epsilon$$

$$U = \frac{g m^{3/2} V}{\sqrt{2} \pi^2 \hbar^3} \int_0^{\infty} \frac{\epsilon^{3/2} d\epsilon}{e^{\frac{\epsilon - \mu}{kT} + 1}}$$

Сравнивая Ω и U получаем

(учитывая, что $\Omega = -pV$ в фермионной системе и в классике, и в квази-классике)

$$pV = \frac{2}{3} U$$

— уравнение состояния фермионной квази-идеальной газы

При этом учли что движение перешло!

Проверим предельный переход к классике.

Если будем считать идеал, то неупругий
при $\mu \rightarrow 0$ \Rightarrow $\mu \rightarrow 0$ вырождение

$$\text{тогда } U = \frac{3}{2} NkT$$

$$\text{тогда получаем } v_{pr} = NkT$$

Случай малого вырождения,

Какие отличия при случае малых μ от свойств?

Как охарактеризовать степень вырождения?

Введём коэф-т A связанности

$$A = e^{\mu/kT}$$

Если $\mu < 0$ и μ большое, то $A \ll 1$

\rightarrow это и есть случай малого вырождения

(связанность мала)

$$\int_0^{\infty} \frac{\varepsilon^{3/2}}{e^{\frac{\varepsilon-\mu}{kT}} + 1} d\varepsilon = \int_0^{\infty} \frac{\varepsilon^{3/2} d\varepsilon}{\left(\frac{1}{A}\right) e^{\frac{\varepsilon}{kT}} + 1} =$$

вычисляем предположив при $A \ll 1$

$$= A \int_0^{\infty} \frac{\varepsilon^{3/2} d\varepsilon}{e^{-\varepsilon/kT} + 1} \approx$$

мало \Rightarrow разлагаем в ряд Тейлора

$$\approx A \int_0^{\infty} e^{-\varepsilon/kT} \left[1 \pm A e^{-\varepsilon/kT} + \dots \right] \varepsilon^{3/2} d\varepsilon$$

вычисляем это получим

$$U \approx \frac{g m^{3/2}}{\sqrt{2} \pi^{2+3}} V (kT)^{5/2} \frac{3\sqrt{\pi}}{4} A \left[1 \pm \frac{A}{2^{5/2}} \right]$$

A связана с μ . Мы хотим её представить в другом виде в предположении

$$\sum_{\vec{k}} \langle N_{\vec{k}} \rangle = N$$

\uparrow заменим на \int

и делаем тоже самое, что и делаем получим

$$\frac{g m^{3/2} V}{\sqrt{2} \pi^{2+3}} \int_0^{\infty} \frac{\sqrt{\varepsilon} d\varepsilon}{e^{\frac{\varepsilon-\mu}{kT}} + 1} = N$$

Отсюда выражаем μ , но подставим в A
и еще (помне того) разгадаем в ряд Тейлора

$$\frac{g m^{3/2}}{\sqrt{2} f^2 h^3} \frac{\sqrt{f}}{2} (kT)^{3/2} f \left[1 \pm \frac{A}{2^{3/2}} \right] \approx \frac{N}{V}$$

отсюда надо выразить A .

В нулевой приближении

$$A_0 = \frac{(2fh)^3}{(2\pi m kT)^{3/2} g} \frac{N}{V}$$

Учтем поправки форму Тейлора по A :

$$A \approx \frac{A_0}{1 \pm \frac{A_0}{2^{3/2}}} \approx A_0 \left(1 \mp \frac{A_0}{2^{3/2}} \right)$$

Для фермионов и бозонов одинакового радиуса
там чем для бозонов меньше, чем в машине,
а для фермионов - больше.
подставим в и получим A :

$$U \approx \frac{g m^{3/2}}{\sqrt{2} f^2 h^3} V (kT)^{5/2} \frac{3\sqrt{f}}{4} A_0 \left(1 \mp \frac{A_0}{2^{3/2}} \right)$$

$$U = \frac{3}{2} N kT \left[1 \mp \frac{A_0}{2^{3/2}} \right]$$

подставим и в уравнение состояния:

$$pV = NkT \left[1 + \frac{A_0}{25k} \right]$$

Если $A_0 \rightarrow 0$, то получаем идеальную.

Для учета малых поправок по A

Для газов при очень V и T , давление будет меньше, а для фермионов наоборот (но относительно к идеальной).

Бозоны как бы эррорировно приближаются, а фермионы — эррорно отталкиваются — оно связано с запретом Паули для Фермионов

Бозонами самого запрета нет, поэтому и приближение

Вырожденный Бозе-газ

Квант. ст-ва осциллято-модель Бозонов и фермионов. Бозоны — нет запрета Паули, есть обмен.

Аналогия и хим. потенциал бозонов при высоких тем-рах меньше при низких тем-рах \neq для бозов. газа.

Эти предельные μ и $T_{\text{кр}}$ каково пол-ая экв. состояний.

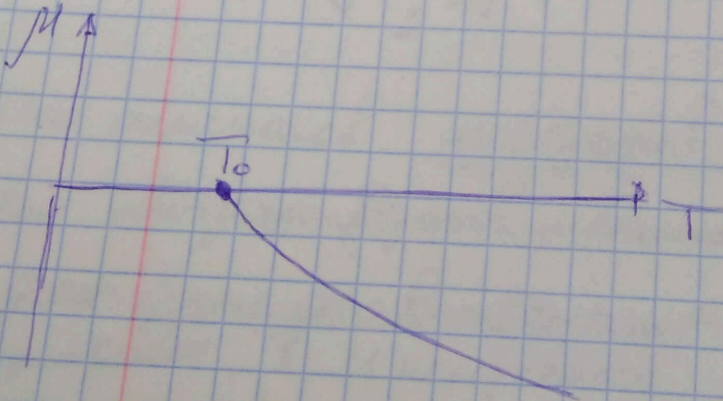
$$\frac{gm^{3/2}}{\sqrt{2\pi}h^{3/2}} \int_0^\infty \frac{\sqrt{\epsilon} d\epsilon}{e^{\beta\epsilon} - 1} = \frac{N}{V} \quad (*)$$

нормировка \uparrow

Если число частиц фиксировано и μ и V . Тогда при T -изменении $\mu > 0$, $\mu < 0$ получаем что значение пол-ной экв-состояния тогда при V изменении энергии подпол-ной ф-ция убывает, но чтобы показать экв-состояние не меняется нужно предположить, что

$$\left(\frac{\partial \mu}{\partial T}\right)_N < 0 \quad (\text{при } T \uparrow \mu \downarrow, \text{ а } T \downarrow \mu \uparrow)$$

Можно построить качественную графике $\mu(T)$



Видно что при какой-то температуре T_0 , потенциал обращается в 0. Обозначим эту температуру T_0 .

величина $\mu > 0$ в (*), получаем

$$\frac{g m^{3/2}}{\sqrt{2\pi} h^{3/2}} \int_0^{+\infty} \frac{\sqrt{\epsilon} d\epsilon}{e^{\epsilon/kT_0} + 1} = \frac{N}{V}$$

Удобнее перейти к двумерной переменной

$$x = \frac{\epsilon}{kT_0}$$

$$\frac{g m^{3/2}}{\sqrt{2\pi} h^{3/2}} (kT_0)^{3/2} \int_0^{\infty} \frac{\sqrt{x} dx}{e^{x-1} + 1} = \frac{N}{V}$$

это число конечно
равное 2,31

Вычисляем T_0

$$T_0 = \frac{3,31}{g^{2/3}} \frac{h^2}{km} \left(\frac{N}{V} \right)^{2/3}$$

Еще сравним с тем же выражением, но полученным, что $T_0 \approx T_{\text{Фер}}$ с точностью до постоянных множителей.

А что будет если мы берем $T < T_{\text{Фер}}$ в этой формуле получаем, что μ должно быть, но для бозонов $\mu < 0$. Противоречие.

Еще предположим что $T < T_0$, а $\mu = 0$

Что получаем? Но получаем, что

Константа тоже растет, а $T \downarrow \Rightarrow$
 величина увеличивается число частиц
 Условие нормировки выполняется для
 этого числа частиц

$$\frac{N'}{N_0} = \left(\frac{T}{T_0} \right)^{3/2} \quad (2)$$

Но куда деваются частицы? Мы вроде их
 зафиксировали?

Это для решетки Эйнштейновом

Сделаем на условие нормировки: мы
 заменим \sum на \int с уровнем энергии
 и дифференциальную мощность энергии
 отсчитываем от 0, и считаем $\sqrt{\epsilon}$.

Большую часть находящихся на самом
 низшем уровне при $\epsilon = 0$ выкажет из
 интеграла и вклад не дано.

Нужно выделить отдельно часть с
 минимальной энергией $\epsilon = 0$.

$$\sum_{\vec{k}} N_{\vec{k}} = N \quad (1)$$

Выделим с $\epsilon = 0$ и получим

$$N = \frac{g_0}{(e^{\epsilon_0/kT} - 1)} + \text{нулевой член суммы (1)}$$

g_0 — кратная вырожденная энергия с ϵ_0 .

А остальные уровни идею резко и поэтому пишем так как было:

$$\textcircled{+} \quad V \frac{g m^{3/2}}{\sqrt{2\pi} h^3} \int_0^\infty \frac{\epsilon d\epsilon}{e^{\epsilon/kT} - 1}$$

Еще выходя $T > T_0$, μ не обращается в 0

и первое слагаемое принимает конечное значение

Все наши соотношения справедливы при $N \rightarrow \infty$

и $V \rightarrow \infty$ и второе слагаемое неизменно

больше чем первое и поэтому нулевой членом

членом можем пренебречь. Но приближаясь

к T_0 замечаем что I и II слагаемые становятся

одного порядка и мы должны его учитывать.

Как учесть сколько частиц с ϵ_0 .

Разделим N' — это второе слагаемое, мы и

тогда его знаем (2) и пишем

$$N_{\epsilon_0} = N \left(1 - \left(\frac{T}{T_0} \right)^{3/2} \right)$$

и видно что при увеличении T от T_0 до

число N_{cond} расчёт,

то явление скапливания частиц на низшем уровне квант. конденсацией Бозе-Эйнштейна.

Теперь на основе этого предположения можем найти внутр. энергию при $T < T_0$ и можем

писать уже формулу, т.е. частота на уровне $\epsilon = 0$ всегда добавлять не будем

$$T < T_0, \mu = 0$$

$$U = \frac{gV(mkT)^{3/2}}{\sqrt{2\pi}h^3} \int_0^{\infty} \frac{x^{3/2} dx}{e^x - 1}$$

и эта формула справедлива, в справедливо при широком диапазоне значений p

$$pV = \frac{2}{3} U$$

получаем, что давление p не зависит от объёма при $T < T_0$ (объём не существует, меняется V , но p не меняется)

Это похоже на двухфазную жидкость (переход конденсация пара в жидкость и наоборот)

Здесь аналогичное явление конденсация.

Еще при $T < T_0$ и фиксир. тем-ра и уменьшаем V , по расчёту T_0 и \Rightarrow отношение $\frac{N'}{N}$ уменьшается
 конденсации - это у-ра Бозе-Эйнштейна,
 каноническое свойство (св-во).

$$T \rightarrow 0 \quad \rho \rightarrow 0$$

Для сравнения рассмотрим следующее:
 Если бы не было канон. св-ва, а была бы каноническая
 величина энергии, она предсказывает что на
 самом низшем энергет. уровне больше, чем
 на других уровнях. Но нам надо сравнить
 число частиц на низшем ур-не и общее число
 частиц на других, тогда получаем

$$\frac{N_{\epsilon=0}}{N'} = \frac{g_0}{\sum_i g_i e^{-\epsilon_i/kT}} = \frac{g_0}{\sqrt{2\pi} \left(\frac{m}{2\pi\hbar^2}\right)^{3/2} \frac{1}{\epsilon} \int_0^{\infty} e^{-x} \sqrt{x} dx}$$

уровни близко друг к другу $\Rightarrow \Sigma \rightarrow \int$

и в макроскопическом предельном $N \rightarrow \infty, V \rightarrow \infty$

получаем $\frac{N_{\epsilon=0}}{N'} \rightarrow 0$ и никакой конденсации

нет. Это не так! ❗

Это еще раз показывает, что конденсация имеет
 строго каноническое свойство (канонический предел)

Предсказать, что газ будет идеал. газом
 при низких тем-рах невозможно. В-ва кристаллического
 тела. Если тем-ра T , которая переходит в жидкую, а не в T_0 ,
 сд.

$T \approx 2,19^\circ K$ - она с хорошей степенью точностью
 совпадает с нашей формулой для T_0
 (при условии что считали его газом) и
 в этот момент пропадает вязкость. Молекулы
 земли - это более частые, больше земли
 жидкой земли - светлого сверху текучею,
 и пропадает трение.

Явление сверхпроводимости - при некоторых
 низких тем-рах сопротивление $R \rightarrow 0$
 Свободные e как образуют куперовскую пару и в
 этой паре они движутся и пары ведут себя как
 бозоны и при низких тем-рах исчезает трение и
 как следствие $R \rightarrow 0$.

В случае, указанных в-ва кристаллического.
 Но если же разрешить газ охладиться
 и при этом он не образует не в жидкую T
 не в T_0 , сд. Это неизбежно было сделать.

И было показано, что пределом энтропии,

Фазовый газ.

Для них $\sigma_{\text{мин}} = 1$. Это базисы.

Этот газ обладает специфическими св-вами

Если для молекулы газа можем влезть объемы ^и ~~по радиусу~~ ^{то} ~~или~~ ^{меньше}, ~~или~~ ^{то} ~~или~~ ^{меньше}

Еще берем фазовый и будем менять объемы, то здесь много фазовых переходов происходит, что характерно жидкостям, и т.д.

Внезапно ^{в состоянии} ~~состоянии~~ ^{равновесия} и при переходе к равновесию данно ^{высшего} ~~высшего~~ ^{уровня} ~~уровня~~ ^{научаем}

$$dF < -SdT - p dV - \sum_k X_k dx_k + \mu dN$$

где x_k — переменные числа

И если $T = \text{const}$, $V = \text{const}$ и $X_k = \text{const}$

а где $\mu \leq 0$.

и научаем $dF < \mu dN$

Но если предположить что $\mu > 0$ где μ — тем-ра и где μ — потенциал, то при $\mu > 0$ и где $\mu > 0$ и где $\mu > 0$

к равновесию $dF < 0$.

Но такой результат мы получали, что если
заряды $\pm e$ и $\mp e$ и велич. паразит, то

F также применима в равновесии микроскоп.
системе.

$$\text{и тогда } \left(\frac{\partial F}{\partial N} \right)_{T, V, \mu_k} = 0$$

$$\text{но ведь } \left(\frac{\partial F}{\partial N} \right)_{T, V, \mu_k} = \mu$$

и мы пришли к тому, что предположили
что $\mu = 0$ для фермионов металлов
при $T = 0$.

Но если число частиц не фиксировано

$$\text{и } d\Omega < 0$$

$$\Omega = F - \mu N \Rightarrow dF < 0$$

Наше предположение не противоречит
одному термодинамич. св-ву.

Если $\mu \neq 0$, но откуда его определить?
Раньше считали, что число частиц фиксировано.
Но теперь фермионы рождаются и умирают
 \Rightarrow число частиц меняется и тогда не всегда
определяет μ .

возможны непадают, что $\mu = 0$,

Второе специфическое св-во - это релативизм
фреонев. У них $m \rightarrow 0$ и их $v \rightarrow c$.
Это должно быть учтено.

Для релативистской частицы кинетическая энергия
(максимальная предельная $(v \rightarrow c)$)

$$\epsilon = \frac{m_0 c^2}{\sqrt{1 - v^2/c^2}} - m_0 c^2$$

Импульс $p = \frac{m_0 v}{\sqrt{1 - v^2/c^2}}$

В случае ультрарелативистских частиц - их скорость
фреонев, $v \rightarrow c$ и получаем $\epsilon = pc$

Раньше было $\epsilon = \frac{p^2}{2m_0}$

У квантовой функции: $\epsilon = h\nu$, $p = \frac{h\nu}{c}$

\Rightarrow два св-ва 1) $\mu = 0$

2) релативизм $\epsilon = h\nu$, $p = \frac{h\nu}{c}$.

Общая формула та же, но учтём
эт св-ва

$$\langle N_{\epsilon} \rangle = \frac{1}{e^{h\nu/kT} - 1}$$

Считаем излуч. энергией.

$$U = \sum_{\vec{E}} \epsilon_{\vec{E}} \langle N_{\vec{E}} \rangle \quad \text{①}$$

$$\epsilon_{\vec{E}} = \epsilon = h\nu \quad \mu = 0$$

Отсюда переходим от \sum к \int , т.к. гнотим

теперь разложимся группировку

$$\text{②} \int \frac{h\nu}{e^{h\nu/kT} - 1} \left(\frac{g d^3p d^3r}{h^3} \right) \quad \text{③}$$

1 число возможных состояний в $d^3p d^3r$ в d^3r -прозраке

Удобнее по d^3r перейти к интегрированию по сфер. коор-т.

g -кратное ступенчатого вырождения

$$\text{④} V 4\pi g \int_0^{\infty} \frac{h\nu}{e^{h\nu/kT} - 1} \frac{p^2 dp}{h^3} =$$

$$= \frac{V 4\pi g}{c^3} \int_0^{\infty} \frac{\nu^3 d\nu}{e^{h\nu/kT} - 1}$$

и можем написать $U = V \int_0^{\infty} p \nu d\nu$

для э/маг. излучения в вакууме $g=2$

и можем сделать тоже самое и для атомного газа.

Считаем суммар. энергию.

$$U = \sum_{\vec{k}} \epsilon_{\vec{k}} \langle N_{\vec{k}} \rangle \quad \text{①}$$

$$\epsilon_{\vec{k}} = \epsilon = \hbar \omega \quad \mu = 0$$

Отсюда переходим от \sum к \int , с.к. условия
легко реализовать $g_{\vec{k}} \rightarrow g_{\omega}$

$$\text{②} \int \frac{\hbar \omega}{e^{\hbar \omega / kT} - 1} \left(g \frac{d^3 p}{h^3} \right) \quad \text{③}$$

\uparrow число квазарных
состояний в $d^3 p$
в μ -пространстве

Удобнее по dr перейти к интегрированию по сфер.
коор-т.

g - кратность ступенчатого вырождения

$$\text{④} \quad V 4\pi g \int_0^{\infty} \frac{\hbar \omega}{e^{\hbar \omega / kT} - 1} \frac{p^2 dp}{h^3} =$$

$$= \frac{V 4\pi g}{c^3} \int_0^{\infty} \frac{\omega^3 d\omega}{e^{\hbar \omega / kT} - 1}$$

и можем написать $U = V \int_0^{\infty} p \omega d\omega$

где ω - частота излучения в вакууме $p\omega$

и можем считать тоже самое и для
идеального газа.

Сравнивая формулы получаем:

$$g^2 = \frac{4\pi g \frac{3}{2} h}{c^3} \frac{1}{e^{h\nu/kT} - 1} \quad (**)$$

Схоже на формулу Планка.

Для фотонов $g=2$

g не получается из формулы $g=2S+1$ где S - спин, но эта формула для фермионов и у нас бозоны, поэтому оно по другому считаем.

Еще подставим $g=2$ в (**), и получим формулу Планка в чистом виде.

То что мы сделали можно назвать курьезным выводом формулы Планка. До этого проведения вывод можно назвать божьим.

Это и есть подтверждение, что мы дошли до формулы при $\nu \rightarrow 0$ и это подтверждается экспериментально.

Фотон - бозон и диммерен.

$$N = \sum_E \langle N_E \rangle$$

От $\Sigma \rightarrow \nu$, переход к частоте, учитывая $g \approx 2$, получаем интегральную Планка:

$$N = V \frac{8\pi}{c^3} \int_0^{\infty} \frac{\nu^2 d\nu}{e^{h\nu/kT} - 1} =$$

Введем безразмерную переменную $x = \frac{h\nu}{kT}$

$$= V \frac{8\pi}{c^3} \left(\frac{kT}{h}\right)^3 \underbrace{\int_0^{\infty} \frac{x^2 dx}{e^x - 1}}_{\text{дает число}}$$

Число фотонов зависит от тем-ры и объема. Если получаем что при $V \rightarrow 0$ $N \rightarrow 0$ и

$N \rightarrow 0$ при $T \rightarrow 0$ (все фотоны концентрируются)

Сделаем предельный переход к классике

Переход к классике число фотонов в единицу частотного объема мало, т.е. $\langle N_{\nu} \rangle \ll 1$,

имеем в виду что $\langle N_{\nu} \rangle = \frac{1}{e^{h\nu/kT} - 1}$ для фотонов

неравильно вычисляем еще $h\nu \gg kT$

Какая формула получается из формулы Планка при $h\nu \gg kT$? Формула Вина, а там остается h .

Но в классическом мы предполагаем $\lambda \ll$
 и считаем более или менее равномерное
 когда фотоны энергетичные, по формула
 приходится к Больцману и h остается
 и остается квантовые $\lambda \sim \lambda_0$

Вм $h \cdot \nu \ll kT$ получаем форму Ренда - Динка
 и h там исчезает, по $\nu(\nu)$ между температура
 единицей в классическом

Формулы газ с квантовыми. Между
 получить понятие переход к классике.

Что же такое классическое эл/м волна? это
 случай $h \cdot \nu \ll kT$ и тогда получить большую
 амплитуду у волн турбулентное движение
 фотон (ассоциацию)

Когда λ - м квант. оператор мы предполагаем
 энергиями нулевых колебаний $\int \nu_0 = \frac{4\pi \nu^3 h}{c^3}$

и мы брали ее ~~уже~~ охват. Когда равных
 частот надо брать равное.

А на уровне фазов энергии нулевых колебаний нет (нет ~~состояний~~ - у них Эгому ~~максимум~~)

Но почувствуем что $N \rightarrow 0$ при $T \rightarrow 0$

А энергия колебаний нулевая и постоянная при $T \rightarrow 0$,

энергия нулевых колебаний не относится к фазам, а по существу она относится к вакууму

Вырожденной Ферми-газ

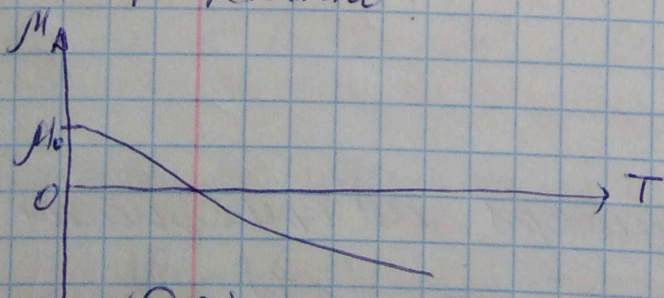
Статистика квантовых э-в в фермионах при низких тем-рах T .

Что происходит с химич. потенциалом?

Условие нормировки:
$$\frac{g m^{3/2}}{\sqrt{2\pi}} \int_0^{\infty} \frac{\epsilon d\epsilon}{e^{\frac{\epsilon - \mu}{kT}} + 1} = \frac{N}{V}$$

Нужно чтобы μ менялся с температурой T .

Качественно:



$$\left(\frac{\partial \mu}{\partial T}\right)_{N, V} < 0$$

Предельный случай:

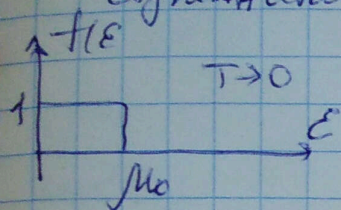
$$\langle N_0 \rangle = f(\epsilon) = \frac{1}{e^{\frac{\epsilon - \mu}{kT}} + 1}$$

Знаем про высокие температуры T μ любое вычисляется

Для фермионов нет ограничений на знак.

$$\lim_{T \rightarrow 0} f(\epsilon) = \theta(\mu_0 - \epsilon) = \begin{cases} 1, & \epsilon < \mu_0 \\ 0, & \epsilon > \mu_0 \end{cases} \quad \text{где } \mu_0 - \text{хим. потенциал, при } T \rightarrow 0$$

сигнальная функция



Заполнены все энергетические уровни до уровня, в соответствии μ_0 . На них по одному электрону

$$g = 2s + 1 \quad (\text{квантовые числа})$$

$$S = \frac{1}{2} \text{ для электронов } \Rightarrow g = 2.$$

μ_0 - максимальное возможное значение ϵ

$$\mu_0 = \epsilon_{\max} = \epsilon_F$$

$$\frac{gm^{3/2}}{\sqrt{2} \pi^2 \hbar^3} \sqrt{\int_0^{\epsilon_{\max}} \epsilon d\epsilon} = N$$

$$\frac{gm^{3/2}}{\sqrt{2} \pi^2 \hbar^3} \sqrt{\frac{2}{3}} (\epsilon_{\max})^{3/2} = N$$

$$(*) \quad \epsilon_F = \left(\frac{3\pi^2}{2} \right)^{2/3} \frac{\hbar^2}{2m} \left(\frac{N}{V} \right)^{2/3} \quad \text{для случая электронов когда } g = 2$$

В шипульском случае - все аналогичная картина

$$R_{\max} = \sqrt{2m\epsilon_F}, \quad \epsilon_F \ll m_0 c^2$$

Внутри сферы с радиусом $R = \sqrt{2m\epsilon_F}$ кубические точки, затем пол-шар Ферми. Вне сферы точек нет

Теперь для электронов проводимости в металле \gg

Т на решетках кадров. Там э-ны сильно вырождены - образуют Ферми-газ.

Какая вышор. энергия Ферми газа при $T \rightarrow 0$?
для ϵ провод. металла

$$U_0 = \frac{2m^{3/2}}{\sqrt{2\pi^2\hbar^3}} \int_0^{E_F} \epsilon^{3/2} d\epsilon = \frac{2m^{3/2}}{\sqrt{2\pi^2\hbar^3}} \int_0^{E_F} \frac{2}{5} (\epsilon)^{5/2}$$

Или в виде (*) получаем:

$$U_0 = \frac{3}{5} N E_F \quad \text{при } T \rightarrow 0.$$

$$pV = \frac{2}{3} U$$

Давление Ферми газа при предельно низкой тем-ре T:

$$p_0 = \frac{(3\pi^2)^{2/3}}{5} \frac{\hbar^2}{m} \left(\frac{N}{V} \right)^{5/3}$$

При $T \rightarrow 0$ почти вся энергия ушла на кинетическую энергию, внешнего кинетическая. Остается только кинетическая энергия в виде

$$U_0 = \frac{3}{5} N E_F \quad \text{и она не стремится к 0. Квадратное св-во:$$

при $T \rightarrow 0$, когда нет теплового движения, остается кинетическая энергия, в приводит к увеличению давления.

Типичная концентрация электр. проводимости в металле:

$$\frac{N}{V} = 5 \cdot 10^{22} \frac{1}{\text{см}^3}$$

$$p_0 \approx 5 \cdot 10^4 \text{ атм} \quad \text{д.р. колоссальное}$$

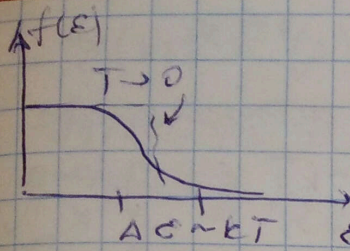
Что есть сосуд, когда речь идет о металле? стенки сосуда.

Электрон удерживается на границе возникшим потенциальным барьером, в

удерживает e проводимости в металле. В металле есть ядра и разупорядоченные ионы и e харак-ся энерг. массой m_{eff} .

Если E_F нах-ся у верхней границы разупорядоченных ионов, то электрон проб-ет вращать себя похоче как идеал. газ.

Возникнет $kT \ll E_F$ з.п.о., то внешнего сопротивления будет?



Рядом граница размываемая за счёт теплового движения

$$kT \ll \left(3\frac{1}{2}\right)^{2/3} \frac{\hbar^2}{2m} \left(\frac{N}{V}\right)^{2/3}$$

ε Фермиево в-е для электронов $T \ll T_{Фер}$. Является в квантовой границе-вм. Энергия меньше энергии $\frac{\epsilon e^2}{a}$, где a - характерное расстояние иона до e^- .

$$a \sim \left(\frac{zV}{N}\right)^{1/3}$$

Квантовая энергия должна быть мала по сравнению с кинетической энергией - это условие вырожденности.

Можно написать: $\frac{ze^2}{\left(\frac{zV}{N}\right)^{1/3}} \ll kT$ - условие, что

$W_{эл} \ll$ энергии теплового движения

$$\frac{N}{V} \ll \frac{(kT)^3}{ze^6}$$

- чем меньше концентрация, тем ближе к идеальному

У нас сильно вырожденный электронный газ; $\epsilon \approx kT$

$$\epsilon \approx \epsilon_F \quad \epsilon_{кин} \leq \epsilon_F \sim \frac{\hbar^2}{2m} \left(\frac{N}{V}\right)^{2/3}$$

$\epsilon_F, \nu, \epsilon_{кин}$ возрастают с увеличением концентрации

быстрее чем энергии квантового в-е

$$z^{2/3} e^2 \left(\frac{N}{V}\right)^{1/3} \ll \epsilon_F$$

$$\left(\frac{N}{V}\right) \gg \left(\frac{e^2 m}{\hbar^2}\right)^3 z^2$$

условие почти идеальное
чем больше газ, тем ближе к идеальному

Для э-нов провод-е в металле условие можно воспользоваться

v, ν их там мало. Французское название имеет вид ν

температуры. Ранее была Дебаевская теория (хорошо, ν)

Вклад в теплоемкость при $V = \text{const}$: $\frac{3}{2} R$.

Экспериментально - на два порядка меньше, что можно понять из графика $f(\epsilon)$. В узком интервале $\Delta \epsilon \sim kT$ кривая $f(\epsilon) \sim \exp(-\epsilon/kT)$. Работаем для случая теплового движения.

$$C_v \sim \frac{3}{2} R \frac{kT}{\epsilon_F}$$

Из условий нормировки (оно же μ) + сохран. энергии!

$$N = \frac{2m^{3/2}}{\sqrt{2\pi^2 h^3}} V \int_0^{\infty} \frac{\sqrt{\epsilon} d\epsilon}{e^{\frac{\epsilon - \mu}{kT}} + 1}$$

$$U = \frac{2m^{3/2}}{\sqrt{2\pi^2 h^3}} V \int_0^{\infty} \frac{\epsilon^{3/2} d\epsilon}{e^{\frac{\epsilon - \mu}{kT}} + 1} \quad (g=2)$$

Для $T \ll T_{\text{Фер}} (kT \ll \epsilon_F)$

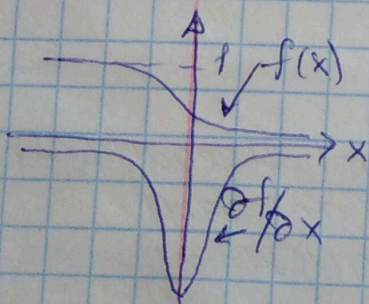
$\mu = \int_0^{\infty} \psi(\epsilon) f(\epsilon) d\epsilon$ - преобразуем и в числителе представим

$$\mu = F(\infty)f(\infty) - F(0)f(0) - \int_0^{\infty} F(\epsilon) \frac{\partial f}{\partial \epsilon} d\epsilon, \text{ где } F(\epsilon) = \int_0^{\epsilon} \psi(\epsilon) d\epsilon$$

$$F(0) \geq 0, f(\infty) \geq 0$$

$$\mu = - \int_0^{\infty} F(\epsilon) \frac{\partial f}{\partial \epsilon} d\epsilon \quad \left| \begin{array}{l} \frac{\epsilon - \mu}{kT} = x \\ \rightarrow \mu = - \int_{-\mu/kT}^{\infty} F(\mu + kTx) \frac{\partial f}{\partial x} dx \end{array} \right.$$

Условие внешнего вырождения $kT \ll \mu$



Симметрия Ферми-Дирак функции

Ближневая область от нуля только при $|x| \ll 1$

Можно f разложить в ряд при малых x .

$$M = - \int_{-\infty}^{+\infty} [F(\mu) + kT F'(\mu)x + \frac{1}{2}(kT)^2 F''(\mu)x^2 + \dots] \frac{\partial f}{\partial x} dx$$

$$M = F(\mu) [f(-\infty) - f(\infty)] - kT F'(\mu) \underbrace{\int_{-\infty}^{+\infty} x \frac{\partial f}{\partial x} dx}_{=0, \text{ т.к. } \frac{\partial f}{\partial x} \text{ четная}}$$

$$-\frac{1}{2}(kT)^2 F''(\mu) \int_{-\infty}^{\infty} x^2 \frac{\partial f}{\partial x} dx + \dots$$

учтем, что $f(\infty) = 0, f(-\infty) = 1, \frac{\partial f}{\partial x} = -\frac{e^x}{(e^x+1)^2} = -\frac{e^{-x}}{(1+e^{-x})^2}$

$$\int_{-\infty}^{\infty} x^2 \frac{\partial f}{\partial x} dx = 2 \int_0^{\infty} x^2 \frac{\partial f}{\partial x} dx = -4 \int_0^{\infty} x f(x) dx = -4 \int_0^{\infty} \frac{x dx}{e^x+1} = \frac{f_2}{3}$$

$$\mu = \int_0^{\mu} \varphi(\varepsilon) d\varepsilon + \frac{f_2}{6} (kT)^2 \left. \frac{\partial \varphi}{\partial \varepsilon} \right|_{\varepsilon=\mu} + \dots$$

Интересует $\varphi = \varepsilon^{1/2}$

$$\mu_{1/2} = \frac{2}{3} \mu^{3/2} \left[1 + \frac{f_2}{8} \left(\frac{kT}{\mu} \right)^2 \right]$$

Если $\varphi = \varepsilon^{3/2}$ (для вырожд. энергии); $\mu_{3/2} = \frac{2}{5} \mu^{5/2} \left[1 + \frac{5f_2}{8} \left(\frac{kT}{\mu} \right)^2 \right]$

Это приближенные выражения

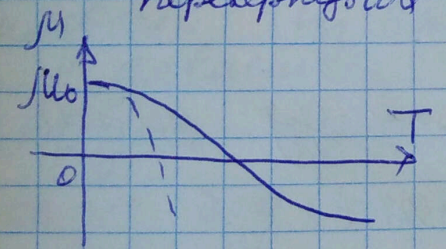
$$N = \frac{2m^{3/2}}{\sqrt{2\pi} h^3} \sqrt{\frac{2}{3}} \mu^{3/2} \left[1 + \frac{f_2}{8} \left(\frac{kT}{\mu} \right)^2 \right]$$

для $T \rightarrow 0, \mu = \mu_0 = \varepsilon_F$, для малых $T: \mu_0^{3/2} = \mu^{3/2} \left[1 + \frac{f_2}{8} \left(\frac{kT}{\mu} \right)^2 \right]$

$$\mu \approx \mu_0 \left[1 - \frac{f_2}{12} \left(\frac{kT}{\mu_0} \right)^2 \right]$$

разности в ред и замещен

перевернутой парабола $kT/\mu \rightarrow kT/\mu_0$
 для малых T совпадает с теорией Фрэнкляна.



$$\frac{\mu}{N} = \frac{\mu_{3/2}}{\mu_{1/2}} = \frac{3}{5} \mu \frac{1 + \frac{5f_2}{8} \left(\frac{kT}{\mu} \right)^2}{1 + \frac{f_2}{8} \left(\frac{kT}{\mu} \right)^2} \approx$$

$$\approx \frac{3}{5} \mu \left[1 + \frac{f_2}{2} \left(\frac{kT}{\mu} \right)^2 \right]$$

сохраним малые поправки первого порядка по $(kT/\mu)^2$

$$\mu \approx \frac{3}{5} \mu_0 \left[1 + \frac{5f_2}{12} \left(\frac{kT}{\mu_0} \right)^2 \right]$$

Видно, что при $T \rightarrow 0$ вырожд. энергия имеет широкую квант. дырку. Температуре даёт только маленькую поправку

Это специфическое квадратное св-во Фермионов

$$C_e = \left(\frac{\partial \mu}{\partial T} \right)_{N,V} = \frac{f_2}{2} N_k \frac{kT}{\mu_0}$$

↑ вклад электронов в теплоёмкость

полная теплоёмкость $C =$ теплоёмкость дебаев + теплоёмкость e проводимости C_e .

✓

$$c_v = \frac{f^2}{2} Nk \frac{kT}{\mu_0} \quad \text{— температурное}$$

μ_0 — химический потенциал при температуре абсолютного нуля, kT — энергия при температуре

Раньше f — добавка температурного (классический, как в классике в равновесии)

формы температурного = темп. от ионов + темп. от электронов проводимости

$$T_{\text{эпр}} \gg T_D$$

↑
вырождения ↑ добавка

Отвращает температура находится между жидк.

Может f — для предельн. случаев!

1) $T \gg T_D$ (но меньше $T_{\text{эпр}}$ в обычных условиях)

величина f — Вронен — Денга $c_v = 3Nk$

Еще сравним для c_v проводимости, $\frac{kT}{\mu_0} \ll 1$

В этом случае даёт основной вклад ионов крист. решетки, а вклад от электронов проводимости

2) $T \ll T_D$ Тогда коллективная добавка температурного проводимости и будет

$$C_V = \underbrace{\frac{12}{5} k^4 N k \left(\frac{T}{T_0}\right)^3}_{(1) \text{ из Дебайевой теории}} + \underbrace{\frac{f^2}{2} N k \left(\frac{kT}{\mu_0}\right)}_{(2) \text{ электроны проводимости}}$$

Она справедлива и для более низких темп-р и $T \rightarrow 0$, тогда (1) убывает как T^3 , а (2) убывает как T и при $T \rightarrow 0$ преобладает (2) составляющее.

Видно, что $\epsilon_V \rightarrow 0$ при $T \rightarrow 0$ — это признак Переста

Мы это получили из вычисл. энергии для e проводимости. Из нее можно получить энтропию и давление

Модель идеального газа для электронов проводимости — эту модель мы сейчас \neq еем.

$$\text{Ранее получали } \Omega = -\frac{2}{3} U$$

$$\Omega = -\frac{2}{3} \left(2 \frac{m^{3/2}}{\sqrt{2} f^2 h^3} \right) V M_{3/2} =$$

число
спинов
электронов \bar{e}

$$= -\frac{4}{15} \frac{2m^{3/2}}{\sqrt{2} f^2 h^3} V \mu^{5/2} \left[1 + \frac{5f^2}{8} \left(\frac{kT}{\mu_0}\right)^2 \right]$$

Эта формула мы написали для вычисл. энергии, но эта не полная формула

Когда \neq мы ϵ_e из вычисл. энергии, то получим

подсказка являющегося μ .

Но сейчас мы этого не делаем в Ω .

т.к. в термодинамике было $S = \left(- \frac{\partial \Omega}{\partial T} \right)_{\mu}$

возможно такая формула более удобная,

$$S = \frac{f^2}{3} k \left(\frac{2m^{3/2}}{\sqrt{2} f^2 h^3} \right) \sqrt{\mu_0}^{3/2} \frac{kT}{\mu_0}$$

где μ_0 — это потенциал химический μ_0 (ее первую поправку, вычитание не нужно, т.к. она больше порядка μ_0). Мы находим μ_0 и его подставим сюда

получаем!

$$S = \frac{f^2}{2} N k \frac{kT}{\mu_0}$$

энергия для электронов проводимости при нулевых тем-рах.

И видно, что при $T \rightarrow 0$ получаем $S \rightarrow 0 \Rightarrow$ III принцип тер-ки выполнен.

Рассчитаем давление. Здесь диф-рвал по T не надо, поэтому μ можно считать с поправкой (малую зависимость)

$$\Omega = - \frac{2}{3} U = - \frac{2}{5} N \mu_0 \left[1 + \frac{5f^2}{12} \left(\frac{kT}{\mu_0} \right)^2 \right]$$

$$p = - \frac{\partial \Omega}{\partial V} = \frac{2}{5} \frac{N \mu_0}{V} \left[1 + \frac{5f^2}{12} \left(\frac{kT}{\mu_0} \right)^2 \right] =$$

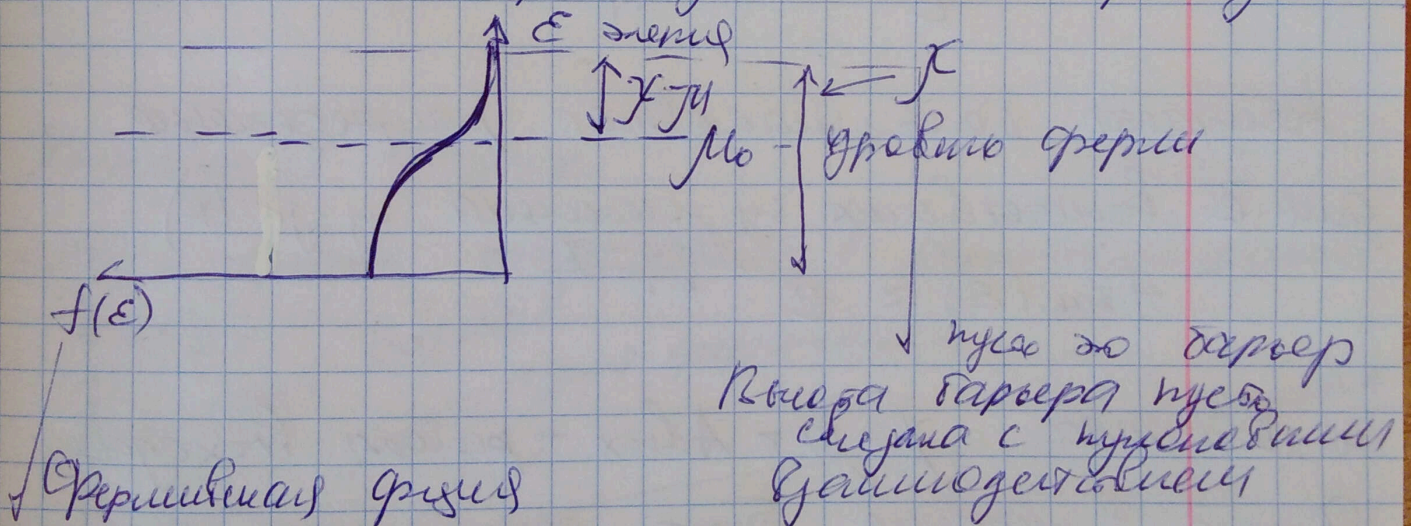
$$= p_0 \left[1 + \frac{5f^2}{12} \left(\frac{kT}{\mu_0} \right)^2 \right] \quad (1)$$

где p_0 — предельное значение давления

при $T \rightarrow 0$ для электронов проводимости.
Видно, что тепловое движение даёт ману
направленную к давлению, и формулы (1).

Спадая термoeлектронная эмиссия.

Если электроны в вакуумной камере, в которой и \bar{e}
вместают с катодом попадают на анод и создают ток.
Что происходит с \bar{e} -ми проводимости



при некоторой температуре при равновесии
если \bar{e} , в металле выше μ и они могут вылететь
 \bar{e} сразу обрываются в металле и
если \bar{e} в эл.р. области могут пройти в металл
и в равновесии эти процессы равновероятны.
Условие равновесия двух систем при $\mu_{катод} = \mu_{анод}$

Слабая экстр. эмиссия $\gamma, k, \gamma - \mu \gg kT$ (*)

Для \bar{e} в металле носим. энергия = 0, а

\bar{e} , в пределе носим. барьер имеет носим. энергию.

$\Rightarrow E_{\bar{e}} = \epsilon + \gamma$ - энергия \bar{e} в вакууме (в вакууме)
 \uparrow кин. эн. \uparrow пот. эн.

Тогда Ферми-Диракская функция в вакууме

$$f_{\text{вак}}(\epsilon) = \frac{1}{e^{\frac{(\epsilon + \gamma - \mu)}{kT}} + 1}$$

получаем больцмановское распределение для \bar{e} в металле и $\mu - \epsilon - \gamma$ (*)

$$f_{\text{вак}}(\epsilon) \approx e^{-\frac{\mu - \epsilon - \gamma}{kT}}$$

и величина $\gamma - \mu = A_{\text{вых}}$ - работа выхода

Для \bar{e} в металле будет ферми-дирекское распределение.

Можно найти число фотоэлектронов в вакуумном слое в модели тонкого катода и анода.

Сложно ввести в ед. времени и металл можно, так как разные Ферми, а все равно \bar{e} возвращается в металл через

сущая, т.к. они ведут себя как адгосомный газ (и там уже Шварца - Больцмана)

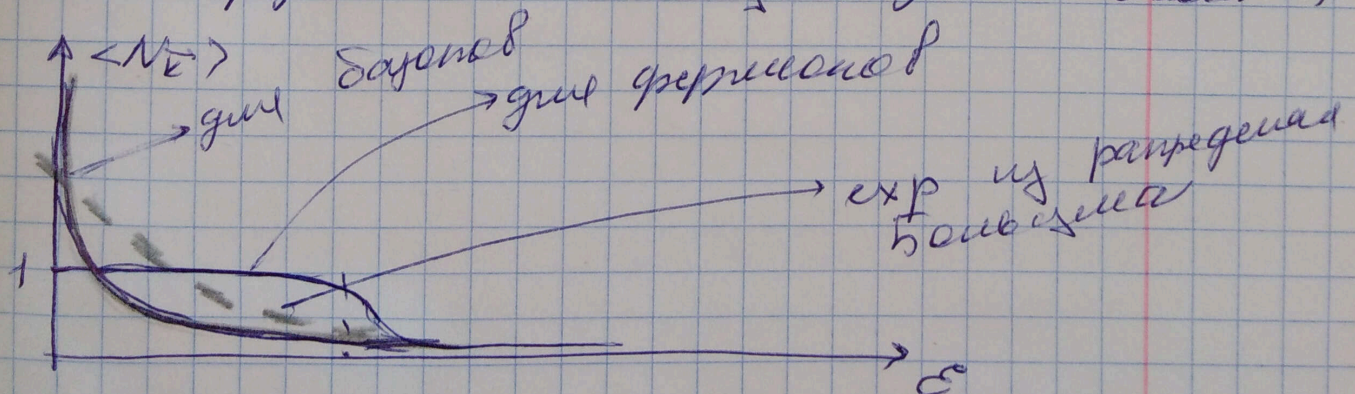
Концентрация определяется из условия равенства μ_0 при равновесии.

Выводимые напряжения и энергии из точки концентрации.

Теперь все электроны уходит до анода, но число выходящих e из металла не уменьшается, так как потенциал барьер \rightarrow напряжение на аноде

качественный график

$\langle N_e \rangle$ - среднее число частиц в одной системе



Для барьеров при $\epsilon \rightarrow 0$ $\langle N_e \rangle \rightarrow \infty$

При повышении энергии все эти графики сшиваются $\frac{\epsilon - \mu}{kT} \gg 1$ и $\langle N_e \rangle \ll 1$

24 декабря но somehow будет сам. работа.